



# IMPIANTO PER LA PRODUZIONE DI ENERGIA ELETTRICA DA FONTE RINNOVABILE EOLICA DENOMINATO "TRUNCU REALE" DA REALIZZARSI IN LOCALITA' TRUNCU REALE (SS)

**OPERA DI PUBBLICA UTILITA'**  
**VALUTAZIONE IMPATTO AMBIENTALE ai sensi del D.Lgs 3 aprile 2006, n.152 ALL. II**

COMMITTENTE

# FIMENERGIA

INDIRIZZO

VIA L. BUZZI, 6, 15033 CASALE MONFERRATO (AL)  
T. +390292875126 (ufficio operativo)

GRUPPO DI PROGETTAZIONE

RESPONSABILE DEL PROGETTO

## FAVERO ENGINEERING

VIA GIOVANNI BATTISTA PIRELLI, 27  
20124 MILANO (MI)  
+390292875126

Ing. FRANCESCO FAVERO  
Ing. ALESSANDRO LUNARDI  
Ing. STEFANO PAVESI  
Ing. SIMONE SCORRANO  
Ing. GIOVANNI LANIA  
Paes. RICCARDO GORETTI  
Paes. RICCARDO BIGLIARDI  
Dott. ANGELO GIGLIOTTI

CONSULENZA TECNICO-AMBIENTALE



PIAZZA DELL'ANNUNZIATA 7  
09123 CAGLIARI (CA)  
+39 347 596 5654 - energhabia@pec.it

Ing. BRUNO MANCA  
Ing. ALESSANDRA SCALAS  
Ing. ILARIA GIOVAGNORIO  
Ing. SILVIA EXANA  
Dott. GIOVANNI LOVIGU  
Dott. GIULIO CASU  
Dott. GIORGIO LAI  
FEDERICA ZACCHEDDU

CONSULENTI

**ACUSTICA:** Ing. CARLO FODDIS - Ing. IVANO DISTINTO

Viale Europa 54, 09045, Quartu San'Elena (CA) - + 39 070 2348760 - cf@fadssystem.net

**AGRO - PEDOLOGIA:** Dott. Nat. NICOLA MANIS

Via Picasso 26, 09036, Guspini (SU) - +39 347805917 - nicolamanis@pecagrotecnici.it

**ARCHEOLOGIA:** Archeologo dott. FABRIZIO DELUSSU

Via Depretis 7, 08022, Dorgali (NU) - + 39 3475012131 - archeologofabriziodelussu@gmail.com

**CHIROTTEROFAUNA:** Dott. Nat. Ermanno Pidinchedda

Via G. Leopardi 1, 07100, Sassari (SS) - + 39 328 1612483 - ermannonpidinchedda@gmail.com

**FAUNISTICA:** Dott. Nat. MAURIZIO MEDDA

Via Lunigiana 17, 09122, Cagliari (CA) - +39 393 8236806 - meddamaurizio@libero.it

**FLORISTICA:** Dott. Agr. Nat. FABIO SCHIRRU

Via Solomardi 34, 09040, San Basilio (SU) - +39 347 4998552 - fabio.schirru@pecagrotecnici.it

**GEOLOGIA, GEOTECNICA E IDRAULICA:** Dott. Geol. COSIMA ATZORI

Via Bologna, 30 09033 Declomannu (CA) - +39 070 7346008 - cosima.atzori@galaconsulting.eu

REV.	DATA	DESCRIZIONE	PREPARATO	CONTROLLATO	APPROVATO
00	GIUGNO 2023	PRIMA EMISSIONE	-	-	Ing. F. Favero
01					
02					
03					
04					

ELABORATO

TITOLO

# RELAZIONE PREVISIONALE IMPATTO VIBRAZIONI

DETTAGLI DEL DISEGNO

SCALA GENERALE

SCALA PARTICOLARE

ARCHIVIO

FILE

DTG\_090

STILE DI STAMPA

FAVERO ENGINEERING.ctb

CODIFICA

FASE PROGETTUALE

# DEFINITIVO

CATEGORIA

# DTG

PROGRESSIVO

# 0 9 0

REVISIONE

# 00

## INDICE

<b>1. PREMESSA .....</b>	<b>4</b>
<b>2. NORMATIVA DI RIFERIMENTO .....</b>	<b>4</b>
<b>3. INQUADRAMENTO GEOGRAFICO GENERALE.....</b>	<b>5</b>
<b>4. PROPRIETA' MECCANICHE DEI TERRENI .....</b>	<b>8</b>
4.1. <i>Descrizione del contesto geologico dell'area vasta oggetto di intervento.....</i>	<i>8</i>
<b>5. CAMPAGNA DI INDAGINI DI CARATTERIZZAZIONE GEOTECNICA E SISMICA .....</b>	<b>11</b>
5.1. <i>Prospezione geofisica.....</i>	<i>14</i>
5.2. <i>MODELLAZIONE GEOLOGICA e GEOTECNICA DI SITO .....</i>	<i>20</i>
5.1. <i>Tabella di sintesi delle proprietà di sintesi dei terreni di interesse .....</i>	<i>23</i>
<b>6. PROPAGAZIONE DELLE VIBRAZIONI NEL TERRENO .....</b>	<b>23</b>
<b>7. MODELLO DI PROPAGAZIONE DELL'ONDA NEL TERRENO .....</b>	<b>26</b>
<b>8. VALUTAZIONE DELLA PROPAGAZIONE DELLE VIBRAZIONI.....</b>	<b>27</b>
<b>9. SORGENTI DI VIBRAZIONE.....</b>	<b>28</b>
9.1. <i>Analisi della fase di cantiere per la costruzione delle opere in progetto.....</i>	<i>28</i>
9.2. <i>Potenziale incremento dei flussi di traffico indotto dal cantiere sulla viabilità locale .....</i>	<i>29</i>
9.3. <i>Modello per il calcolo dell'impatto dovuto alle vibrazioni in fase di cantiere .....</i>	<i>29</i>
9.4. <i>Scenari di riferimento di cantiere.....</i>	<i>30</i>
9.5. <i>Scenari di riferimento di esercizio .....</i>	<i>31</i>
9.6. <i>Limiti di riferimento.....</i>	<i>32</i>
9.7. <i>Recettori .....</i>	<i>35</i>
9.8. <i>Spettri di emissione delle macchine operatrici .....</i>	<i>36</i>
9.8.1. <i>Propagazione delle vibrazioni di un rullo vibrante .....</i>	<i>36</i>
9.8.2. <i>Propagazione delle vibrazioni di una pala cingolata .....</i>	<i>37</i>
9.8.3. <i>Propagazione delle vibrazioni di un autocarro .....</i>	<i>38</i>
9.8.4. <i>Propagazione delle vibrazioni di un escavatore cingolato.....</i>	<i>39</i>
9.8.5. <i>Propagazione delle vibrazioni di un martello idraulico .....</i>	<i>40</i>
<b>10. MODALITÀ DI GESTIONE DEL DISTURBO DOVUTO ALLE VIBRAZIONI .....</b>	<b>41</b>
10.1. <i> Criteri di azione e misure di mitigazione.....</i>	<i>41</i>
<b>11. CONCLUSIONI .....</b>	<b>43</b>



## Indice delle figure

Figura 1 Ubicazione dell'area di studio.....	5
Figura 2 Panoramica nei pressi della WTG 02 .....	5
Figura 3 Dimensioni dell'aerogeneratore .....	7
Figura 4 Sezione tipologica della fondazione .....	8
Figura 5 Schema tettonico-strutturale della Sardegna.....	8
Figura 6 Coltri eluvio-colluviali .....	11
Figura 7 Planimetria delle aree di indagine .....	13
Figura 8 localizzazione stendimento R1/M1 e T1 .....	14
Figura 9 Schema geometrico di acquisizione dei dati per gli stendimenti di lunghezza L = 69,0 m .....	16
Figura 10 Parametri di deformazione dinamici e statici dei terreni determinati tramite misure sismiche.....	18
Figura 11 Stendimento (L=69m) di sismica a rifrazione in onde P con 24 geofoni e interdistanza di 3,0 m .....	19
Figura 12 Modello Geologico del sito .....	21
Figura 13 Curva di ponderazione asse generico .....	24
Figura 14 - Tipologia di onde: a) e b) onde di volume, c) e d) onde di superficie .....	25
Figura 15 - rapporto tra le velocità di propagazione Vp e Vr .....	26
Figura 16 Valori limite delle accelerazioni complessive ponderate in frequenza.....	33
Figura 17 Sistema cartesiano di riferimento per persona sdraiata, in piedi o seduta .....	33
Figura 18 Curva di ponderazione per un asse generico - UNI 9614.....	34
Figura 19 Valori Limite di riferimento per vibrazioni di breve durata e permanenti (9916/2014).....	35
Figura 20 Spettro di emissione della sorgente di un rullo vibrante a 10mdall'asse di cantiere .....	36
Figura 21 Modifica dello spettro dell'accelerazione ponderata in funzione della distanza e della frequenza e curva di propagazione delle vibrazioni .....	36
Figura 22 Spettro di emissione della sorgente di una pala cingolata a 10m dall'asse di cantiere .....	37
Figura 23 Modifica dello spettro dell'accelerazione ponderata in funzione della distanza e della frequenza e curva di propagazione delle vibrazioni .....	37
Figura 24 Spettro di emissione della sorgente di un autocarro 10mdall'asse di cantiere.....	38
Figura 25 Modifica dello spettro dell'accelerazione ponderata in funzione della distanza e della frequenza e curva di propagazione delle vibrazioni .....	38
Figura 26 Spettro di emissione della sorgente di un escavatore cingolato 5m dall'asse di cantiere .....	39
Figura 27 Modifica dello spettro dell'accelerazione ponderata in funzione della distanza e della frequenza e curva di propagazione delle vibrazioni .....	39
Figura 28 Spettro di emissione della sorgente di un martello idraulico 5mdall'asse di cantiere .....	40

Figura 29 Modifica dello spettro dell'accelerazione ponderata in funzione della distanza e della frequenza e curva di propagazione delle vibrazioni .....	40
Figura 30 Distanze di sicurezza per le vibrazioni nei vari scenari .....	44

CS&S

## 1. PREMESSA

La presente relazione è parte integrante del procedimento di Valutazione d'Impatto Ambientale ai sensi del Decreto Legislativo numero 152 del 2006, e di Autorizzazione Unica Regionale ai sensi dell'articolo 12 del Decreto Legislativo numero 387 del 2003 e del D. G. R. 3/15 del 23 Gennaio 2018.

La caratterizzazione della qualità dell'ambiente in relazione agli effetti delle vibrazioni deve consentire di individuare e stimare le modifiche e/o le interferenze introdotte dall'intervento proposto e valutarne la compatibilità con gli standard esistenti, in riferimento alla verifica sia del disturbo da esse potenzialmente generate sull'uomo, sia di un eventuale potenziale danno agli edifici, per la salvaguardia del patrimonio architettonico/archeologico.

Il presente documento tecnico riporta la valutazione previsionale dei livelli di vibrazione previste, durante le fasi di cantiere, sui ricettori sensibili più vicini alle aree di installazione degli aerogeneratori del Parco Eolico e alla viabilità interessata, nell'ambito della redazione del Progetto Definitivo del Parco Eolico denominato "TRUNCU REALE" dislocato nel **territorio comunale di Sassari** - Provincia di Sassari (SS) e sulla viabilità laddove sono previste lavorazioni (es. posa del cavidotto o realizzazione ex-novo/adeguamento stradale).

La stima dei livelli di vibrazione attesi presso i ricettori sensibili identificati secondo quanto indicato nella normativa vigente all'area di progetto ed il loro confronto con i limiti vibrazionali sono stati eseguiti secondo le prescrizioni, le indicazioni e le modalità contenute nelle normative tecniche vigenti.

La vibrazione prodotta da macchine e strumenti di cantiere, nel seguito definite **sorgenti**, si propaga attraverso il substrato geologico che su di essa agisce operando un filtraggio in funzione della natura geolitologica dei terreni e si attenua con l'aumentare della **distanza dai recettori**.

La vibrazione, quindi, arriva ad interagire con le fondazioni delle strutture edificate e tale interazione dipende dal tipo di fondazione, dal tipo di costruzione e dal suo stato di conservazione.

## 2. NORMATIVA DI RIFERIMENTO

In Italia non esiste ancora una normativa specifica di settore, pertanto, la presente è redatta facendo riferimento a normativa UNI ed ISO con particolare riferimento a:

1. **UNI 9614/2017** "Misura delle vibrazioni negli edifici e criteri di valutazione del disturbo";
2. **UNI 9916/2014** "Criteri di misura e valutazione degli effetti delle vibrazioni negli edifici";
3. **ISO 2631-2:2003** Mechanical vibration and shock -- Evaluation of human exposure to whole-body vibration -- Part 2: Vibration in buildings (1 Hz to 80 Hz)

## 3. INQUADRAMENTO GEOGRAFICO GENERALE

Truncu Reale è una frazione del comune di Sassari, nella Sardegna nord occidentale, ad una altitudine di 82 m s.l.m. Qui si trova la nuova zona industriale del comune di Sassari, in aggiunta a quella storica di Predda Niedda.

L'inquadratura cartografica di riferimento è il seguente:

- Cartografia ufficiale dell'Istituto Geografico Militare I.G.M. Serie 25 foglio 459 IV "La Crucca"
- Carta Tecnica Regionale della Sardegna – scala 1:10.000 – sez. 459010 "Campanedda", "459020 "Ottava", 459050 "Monte Nurra", 459060 "La Landrigga".

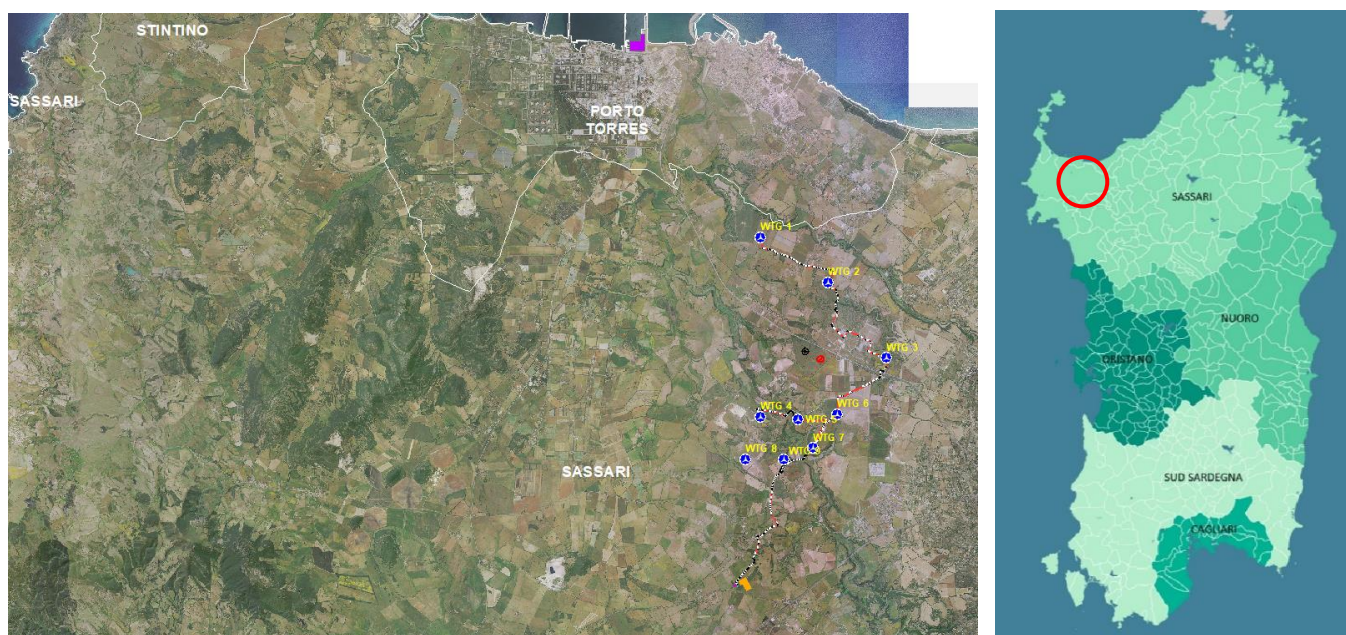


Figura 1 Ubicazione dell'area di studio



Figura 2 Panoramica nei pressi della WTG 02

L'impianto di potenza complessiva pari a 64 MW è costituito dai 9 aerogeneratori Vestas V172, di potenza nominale 7,2 MW (limitati in fase di esercizio a 7,1 MW), integrato con un sistema di accumulo elettrochimico a batterie, con capacità pari a 201 MWh e potenza nominale di 36 MW, da realizzarsi nel Comune di Sassari, nei terreni ad ovest della città, tra le frazioni di "Truncu Reale" e di "Saccheddu".

Per la connessione dell'impianto alla Rete di Trasmissione Nazionale (RTN), si fa riferimento al preventivo di connessione proposto da TERNA S.p.A., accettato dalla società FIMENERGIA S.r.l., con codice di rintracciabilità 202201984. Tale documento specifica che l'impianto sarà collegato in antenna a uno stallo a 150 kV della futura Stazione Elettrica della RTN 380/150/36 kV denominata "Olmedo", che il gestore prevede di costruire nel comune di Sassari, in prossimità della frazione "Saccheddu".

L'impianto può essere localizzato alle seguenti coordinate geografiche:

	COORDINATE GEOGRAFICHE MONTE MARIO - 1		COORDINATE GEOGRAFICHE WGS84 - UTM 32 N		QUOTA
	N-LAT	E-LONG	N-LAT	E-LONG	m s.l.m.
WTG 1	4516078.4038	1450569.7341	4516068.011	450545.097	44
WTG 2	4514937.6610	1452287.6667	4514927.300	452263.040	55
WTG 3	4513013.9148	1453766.2421	4513003.578	453741.583	68
WTG 4	4511529.1454	1450562.0796	4511518.806	450537.487	52
WTG 5	4511465.2821	1451530.7181	4511454.956	451506.061	59
WTG 6	4511535.1062	1452541.3865	4511527.023	452512.156	66.5
WTG 7	4510730.7971	1451910.5316	4510720.476	451885.864	64
WTG 8	4510447.6022	1450179.4580	4510437.325	450154.903	58
WTG 9	4510449.4921	1451168.1463	4510439.205	451143.531	57
SDA	4510222.7374	1451100.4907	4510207.580	451072.593	57
SSE	4507242.5456	1449981.9167	4507425.498	449836.804	77

La struttura tipo dell'aerogeneratore consiste in:

- Torre a struttura metallica tubolare di forma circolare, suddivisa in tronchi da assemblarsi in cantiere. La base della torre viene ancorata alla fondazione mediante una serie di barre pre-tese (anchor cages);

- Navicella, costituita da una struttura portante in acciaio e rivestita in lamiera metallica, vincolata alla testa della torre tramite un cuscinetto a strisciamento che le consente di ruotare sul suo asse di imbardata contenente l'albero lento, unito direttamente al mozzo, che trasmette la potenza captata dalle pale al generatore attraverso un moltiplicatore di giri;

- Un mozzo a cui sono collegate 3 pale, in materiale composito, formato da fibre di vetro e carbonio in matrice epossidica, costituite da due gusci collegati ad una trave portante e con inserti di acciaio che

uniscono la pala al cuscinetto e quindi al mozzo. Di seguito si presentano le dimensioni e le caratteristiche tecniche dell'aerogeneratore tipo Vestas V172, che si intende utilizzare:

- P nominale aerogeneratore = 7,2 MW
- H al mozzo = 114 m
- D rotore = 172 m
- H totale (hub+raggio) = 200 m

La potenza sarà limitata in fase di esercizio a 7,1 MW, per una potenza totale dell'impianto di 64 MW.

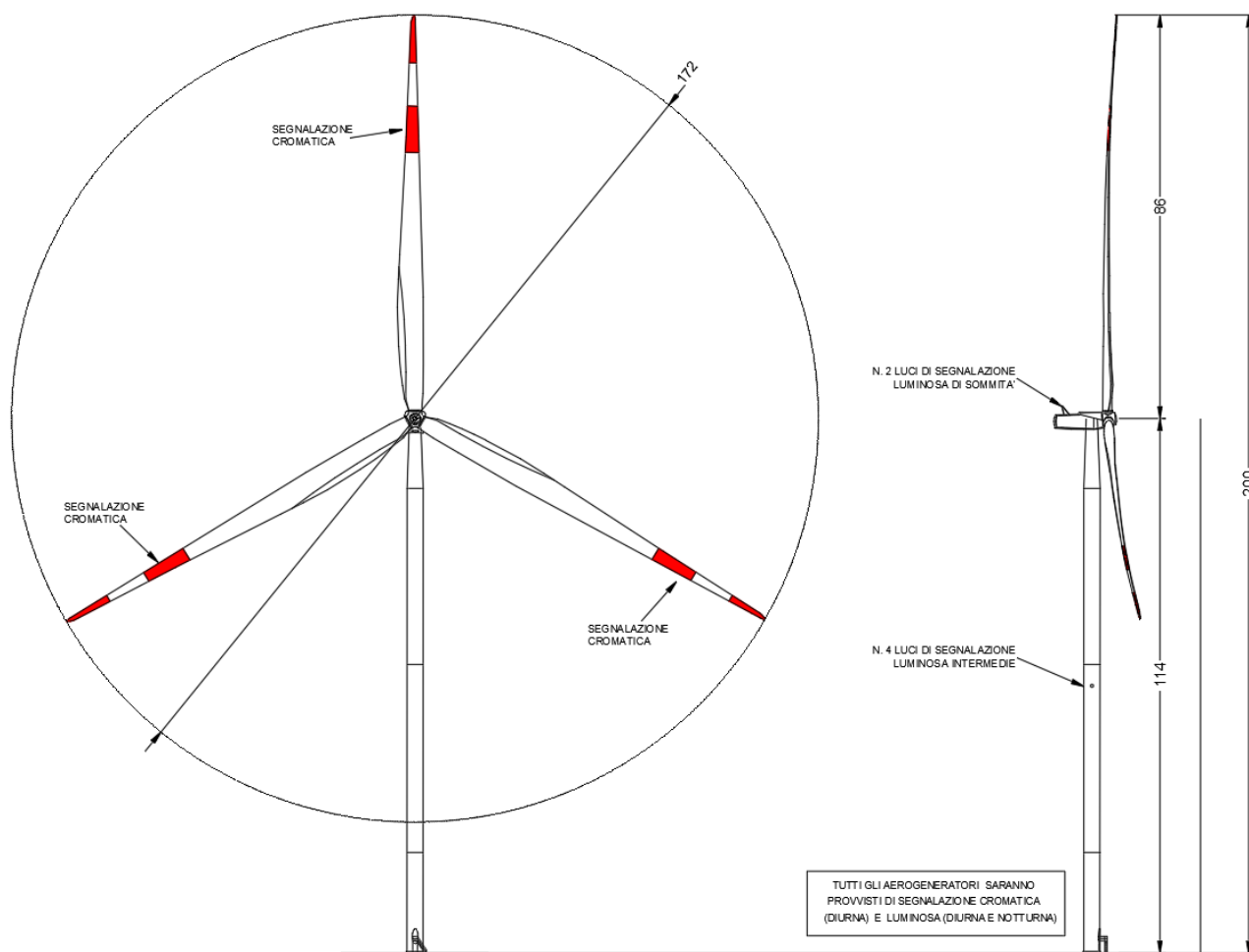


Figura 3 Dimensioni dell'aerogeneratore

La fondazione dell'aerogeneratore sarà di forma circolare con un diametro di circa 26,80 m e altezza di circa 2,7 m; sarà realizzata con calcestruzzo gettato in opera e con ferri di armatura disposti in direzione radiale e circonferenziale. La progettazione verrà eseguita in accordo alla Normativa vigente in Italia.

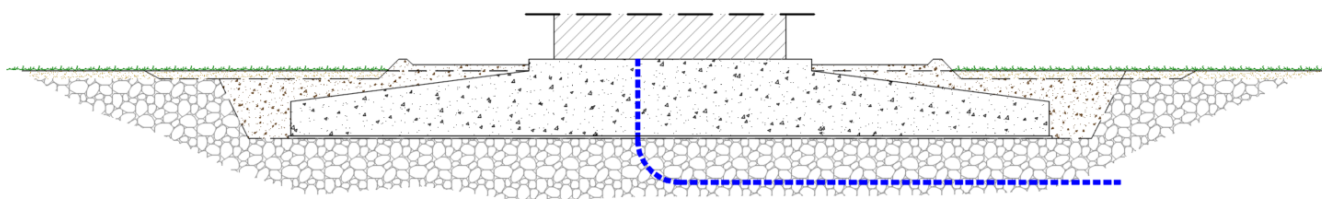


Figura 4 Sezione tipologica della fondazione

Per ulteriori specifiche si rimanda agli elaborati tecnici di progetto.

## 4. PROPRIETA' MECCANICHE DEI TERRENI

### 4.1. DESCRIZIONE DEL CONTESTO GEOLOGICO DELL'AREA VASTA OGGETTO DI INTERVENTO

A partire dal Paleozoico si sono susseguiti una serie di eventi geologici sviluppatasi nell'arco di circa mezzo miliardo di anni, che hanno reso la Sardegna una delle regioni geografiche più antiche del Mediterraneo centrale e, morfologicamente e cronologicamente eterogenea.

L'isola riflette pertanto una storia geologica molto articolata, che testimonia, in maniera più o meno completa, alcuni dei grandi eventi geodinamici degli ultimi 400 milioni di anni.

L'orogenesi Caledoniana, la più antica, le cui tracce si rinvencono principalmente nel nord della Gran Bretagna e nella Scandinavia occidentale, fu causata dalla progressiva chiusura dell'oceano Giapeto, a seguito della collisione dei continenti Laurentia, Baltica e Avalonia, dando così origine al super continente Laurussia.

La successiva fase dell'orogenesi Ercinica (o Varisica) ha avuto corso a partire dal Carbonifero, circa 350 Ma fa e si è protratta fino al Permiano determinando un'estesa catena montuosa ubicata tra il Nord America e l'Europa.

Quest'orogenesi ha prodotto in Sardegna tre zone metamorfiche principali. Procedendo dal nucleo orogenetico verso l'avanfossa si trovano le zone dette: Assiale (Sardegna NE) – a Falde interne (Sardegna centrale) – a Falde esterne (Sardegna SW).

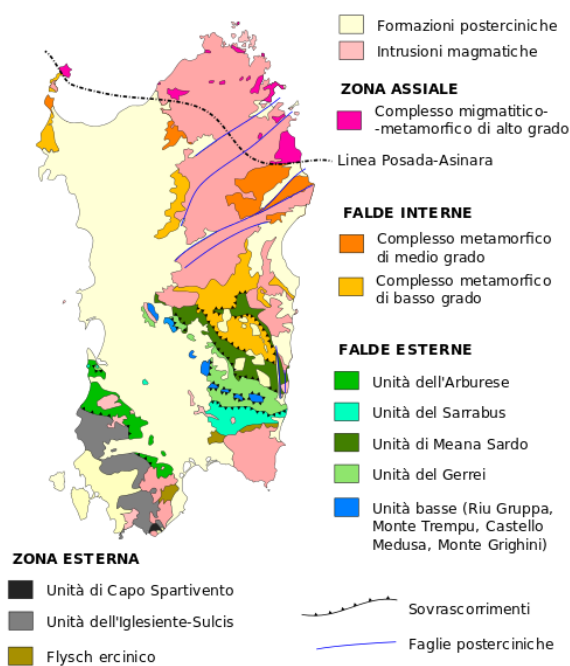


Figura 5 Schema tettonico-strutturale della Sardegna

Successivamente, tra il Carbonifero Sup. e il Permiano Inf., avviene la messa in posto dei batoliti granitici tardo ercinici, questa ha prodotto metamorfismo termico e di alta pressione delle rocce esistenti.

L'area di studio ricade parzialmente nella zona a Falde Interne del basamento varisco sardo; ma comprende soprattutto rocce delle coperture mesozoiche, che in quest'area dell'Isola sono costituite da sedimenti alluvionali del Buntsandstein (Trias medio), su cui poggiano in trasgressione i sedimenti carbonatici di ambiente neritico (Muschelkalk) e poi quelli evaporitici (Keuper). Seguono le rocce della successione vulcano-sedimentaria Miocenica, e i depositi quaternari. Le Unità Tettoniche affioranti nel settore occidentale dell'area vasta sono costituite da originarie successioni sedimentarie e vulcaniche di età compresa tra il Cambriano e il Carbonifero inferiore, note come Unità di Canaglia, Li Trumbetti e Argentiera.

Il settore di interesse all'installazione delle nove torri eoliche si trova nella zona cosiddetta a Falde interne, caratterizzata da fenomeni di medio e basso metamorfismo, localizzata nell'area geografica della Nurra.

L'area vasta è costituita principalmente da unità di età paleozoica e mesozoica di origine sedimentaria, da rocce magmatiche a carattere effusivo, e da depositi recenti rappresentati dai prodotti di disfacimento della roccia madre e dei suoi derivati che vanno a colmare le vallecole e/o i piccoli impluvi presenti.

Per quanto riguarda l'assetto strutturale dell'area vasta quest'ultima riflette essenzialmente eventi deformativi di età cenozoica ed in minor misura mesozoica. La tettonica varisca, che è polifasica ed è responsabile della strutturazione del basamento, ha rilevanza solo nel settore della Nurra occidentale.

La Nurra è costituita da un alto strutturale immergente verso est, che si è sviluppato nel Terziario, che confina ad E coi depositi del Miocene inferiore del semi-graben del bacino di Porto Torres.

Nella sua parte occidentale della Nurra affiora il basamento paleozoico in diverse unità strutturali impilate tettonicamente per via di alcuni sovrascorrimenti ercinici orientati circa NW-SE e E-W, che dalla più profonda alla più superficiale si distinguono in Unità di Argentiera, Li Trumbetti e Canaglia. In quest'area, il basamento paleozoico è coperto in maniera discontinua dalla successione vulcano-sedimentaria del Permiano.

Le rocce mesozoiche della Nurra poggiano generalmente sui depositi continentali permo-triassici o direttamente sul basamento, e sono rappresentate da depositi di piattaforma carbonatica sottoposta ad oscillazioni eustatiche e a fasi tettoniche distensive, che hanno favorito l'ingressione dei mari epicontinentali alternati a fasi subaeree. Il controllo tettonico, attivo in vari intervalli cronostratigrafici, insieme al controllo eustatico, ha condizionato l'evoluzione sedimentaria della piattaforma. Infatti, la successione mesozoica presenta un tipico aspetto a "duomi e bacini" dovuto alla sovrapposizione di due sistemi di pieghe che hanno interessato la piattaforma carbonatica mesozoica prima durante il Cretaceo medio (pieghe e sovrascorrimenti orientati NW-SE), e poi nel Cretaceo superiore (piegamenti orientati NE-

SW). La successione mesozoica è rappresentata da una sequenza di calcari, dolomiti e marne e depositi evaporitici il cui spessore può superare i 700 m.

In particolare, nell'area vasta affiorano le seguenti litologie, di seguito riportate con la nomenclatura adottata dalla RAS nella stesura della cartografia geologica in scala 1:25000.

L'area di studio è interessata dalla successione sedimentaria miocenica, questa è caratterizzata dalla presenza di sequenze deposizionali delimitate da discordanze: la prima sequenza è costituita da depositi continentali fluviali e di piana alluvionale, deltizi marini e di piattaforma, mentre la seconda sequenza è costituita da depositi fluvio-marini e carbonatici di piattaforma.

**RESa** – Litofacies nella Formazione di Mores: Calcareniti e calciruditi algali sovente clinostratificati, con echinidi e bivalvi, subordinati calcari biohermali a coralli, spessore variabile fino a 40-50m. (BURDIGALIANO SUP.).

**RESb** – Litofacies nella Formazione di Mores: Conglomerati ad elementi arrotondati di quarzo, vulcaniti terziarie e rocce del basamento paleozoico, e da arenarie a cemento carbonatico, fossiliferi e bioturbati. Intercalazioni di depositi sabbioso-arenacei quarzoso-feldspatici a grana medio-grossa, localmente ricchi in ossidi di ferro (Ardara-Mores). Per via della fauna ad echinodermi, e per via della posizione stratigrafica, tali depositi sono riferiti al Miocene inferiore (BURDIGALIANO SUP.).

**PRJ** - UNITÀ DI PUNTA RUJA. Depositi di flusso piroclastico in facies ignimbratica, pomiceo-cineritici, da mediamente a fortemente saldati, di colore da rosato a nerastro, con pomici nerastre. BURDIGALIANO

**CZS** - UNITÀ DI CANDELAZZOS. Depositi di flusso piroclastico in facies ignimbratica, pomiceo-cineritici, prevalentemente non saldati, di colore grigio-violaceo. BURDIGALIANO

**GXL** - FORMAZIONE DI GRAXIOLEDDU. Orizzonte bauxitico, con bauxite ed argille residuali in tasche carsiche. CENOMANIANO

**POC** - FORMAZIONE DI CAPO CACCIA. Calcari a rudiste. CONIACIANO

**OPN** - FORMAZIONE DI OPPIA NUOVA. Sabbie quarzoso-feldspatiche e conglomerati eterometrici, ad elementi di basamento paleozoico, vulcaniti oligomioceniche e calcari mesozoici (Nurra). Ambiente da conoide alluvionale a fluvio-deltizio. BURDIGALIANO ?MEDIO-SUP.

**MUC** - Formazione di Monte Uccari (cfr. Formazione Punta Cristallo IST). E' costituita da calcari micritici e bioclastici grigio biancastri ben stratificati; dolomie grigiastre e lenti di calcare oolitico con ciottoli a carofite. La successione, di potenza di un centinaio di metri, viene riferita al Giurassico superiore (MALM) per via della ricca associazione di alghe dasycladacee. GIURASSICO SUPERIORE (MALM).

I depositi quaternari cartografati nell'area di studio sono generalmente poco rilevanti; sono rappresentati principalmente da depositi di versante, coltri eluvio-colluviali e depositi alluvionali. Vengono descritti dal più antico al più recente.

(b2) Coltri eluvio-colluviali: Si tratta di materiali derivati dal disfacimento in situ delle rocce in seguito mobilizzate da processi di versante, costituiti da depositi con percentuali variabili di sedimenti fini (sabbia e silt) più o meno pedogenizzati e arricchiti in frazione organica, con clasti eterometrici di varia litologia. Lo spessore di questi depositi solitamente è abbastanza esiguo (nell'ordine massimo di qualche metro in prossimità dei compluvi). OLOCENE

(ba) Depositi alluvionali. Ghiaie da grossolane a medie. OLOCENE

(bb) Depositi alluvionali: si tratta di sedimenti fini, costituiti da sabbie con rare ghiaie. OLOCENE

(b) Depositi alluvionali: si tratta di depositi di spessore modesto (compreso tra qualche metro e 15m lungo il Riu Mannu), costituiti da materiale sabbiosi, limosi o ghiaiosi depositati lungo i corsi d'acqua. OLOCENE



Figura 6 Coltri eluvio-colluviali

## 5. CAMPAGNA DI INDAGINI DI CARATTERIZZAZIONE GEOTECNICA E SISMICA

La necessità di integrare le informazioni di tipo geologico e geotecnico in possesso e derivanti da studi pregressi e dalla letteratura di settore, ha reso necessario in particolare su questo contesto, predisporre un piano di indagini geognostiche di dettaglio, propedeutiche alla definizione del **modello geologico e geotecnico di sito** così come richiamato nelle Norme Tecniche sulle Costruzioni 2018, e finalizzate alla progettazione esecutiva dell'opera.

L'indagine ha avuto come obiettivi principali:

- Definire in dettaglio la stratigrafia ed i rapporti tra le formazioni geologiche interessate dagli interventi;
- Definire le caratteristiche fisico-meccaniche dei terreni attraversati;
- Individuare la presenza di circolazione d'acqua sotterranea alle profondità di interesse in relazione ai volumi significativi delle opere (fondazioni)

Il piano di indagine ha previsto l'utilizzo di due tipologie di indagini:

1. Diretta – mediante l'esecuzione di sondaggi a carotaggio continuo con il prelievo di campioni da caratterizzare in laboratorio geotecnico.
2. Indiretta – mediante prospezioni geofisiche realizzate impiegando la metodologia geoelettrica e sismica con le tecniche MASW e sismica a rifrazione in onde P.

Le indagini in sito sono state realizzate in data **06-07 e 10 Maggio 2021** dalla Ditta Dr. Antonello Angius con sede in Cagliari (CA) e in data **20 Aprile 2021** dalla ditta GEOSERVICE con sede in Villa San Pietro (CA). Le analisi di tipo geotecnico sono state effettuate presso il Laboratorio Geotecnico Certificato GEOSYSTEM con sede in Quartu Sant'Elena (CA). Le operazioni si sono svolte sotto la Direzione Lavori della scrivente.

Le sedi di indagine sono state scelte in modo da essere rappresentative dei diversi assetti geologico-strutturali che interesseranno le opere di progetto. Di seguito verranno riportati gli esiti dell'indagine geofisica che è di interesse allo studio della propagazione delle vibrazioni generate dai mezzi previsti in fase di cantiere che dalle turbine in fase di esercizio.

È stato eseguito n° 1 stendimento di sismica con tecnica Rifrazione/MASW (R1/M1). Le basi sismiche MASW ricadono lungo il medesimo allineamento delle Rifrazioni in onde P.

Si riportano di seguito, in sintesi, le caratteristiche delle due metodologie impiegate:

L'indagine sismica con tecnica MASW (Multichannel Analysis of SurfaceWaves) è una tecnica di indagine non invasiva, che attraverso la definizione del profilo di velocità delle onde di taglio verticali Vs, è in grado di ricostruire una sismo-stratigrafia atta a permettere la definizione della categoria di suolo ai sensi del DM 17/01/2018.

- L'indagine sismica a rifrazione con acquisizione ed elaborazione tomografica in onde longitudinali (P) permette di ricostruire l'andamento stratigrafico, nel senso di spessori elastomogenei, andando a stimare lo stato di addensamento e/o fratturazione del terreno investigato. E' molto utile anche per classificare la cosiddetta "rippabilità" degli ammassi rocciosi e per ottenere per via indiretta una classificazione dell'ammasso roccioso.

È stato eseguito un rilievo topografico tramite GPS differenziale STONEX S70G (geofoni, punti di shot, elettrodi/picchetti) e restituzione dei profili altimetrici da impiegare nelle sezioni di tomografia elettrica e sismica.

Infine, i dati acquisiti sono stati elaborati tramite mediante l'applicazione di diversi algoritmi di interpretazione, filtraggio del segnale e restituzione grafica delle sezioni sismiche con l'impiego del software specialistici.

Nella tabella 1 è riportato il quadro riassuntivo delle indagini svolte, con le sigle identificative, la direzione di esecuzione (da elettrodo/geofono iniziale a quello finale), e la loro lunghezza complessiva, mentre nella Fig.4 sono rappresentati i punti dove sono state effettuate le indagini.

Stendimento	Orientamento	Lunghezza (m)
R1/M1	NNW-SSE	69,0

Tabella 1 Quadro riassuntivo indagine geofisica

Di seguito si riportano le specifiche di rilievo e gli esiti dell'elaborazione dei profili sismici acquisiti.

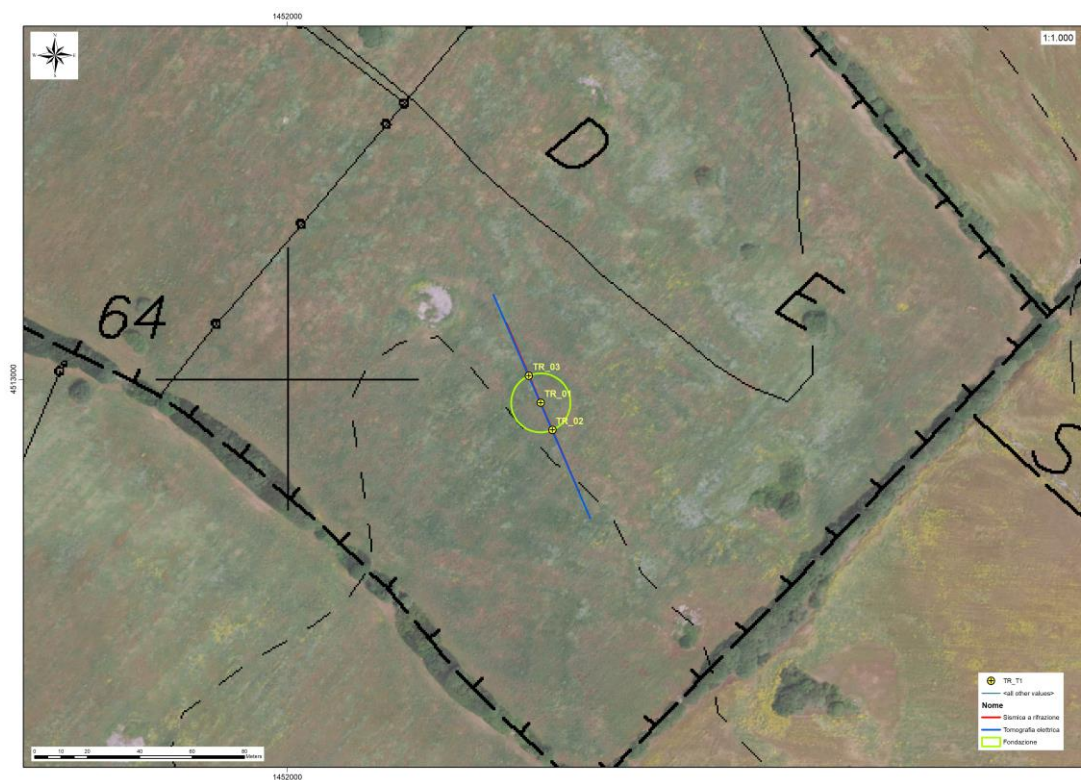


Figura 7 Planimetria delle aree di indagine

## 5.1. PROSPEZIONE GEOFISICA

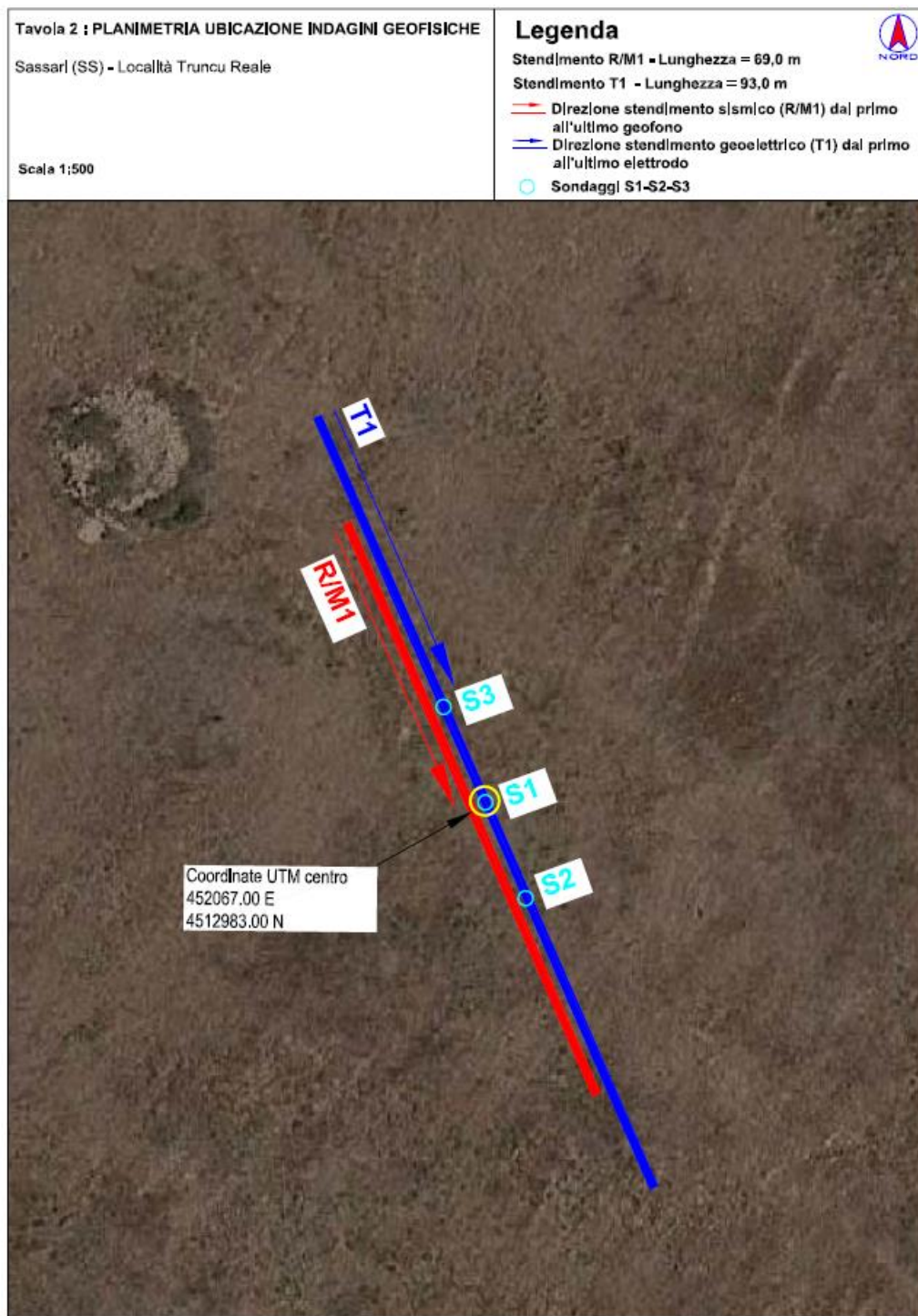
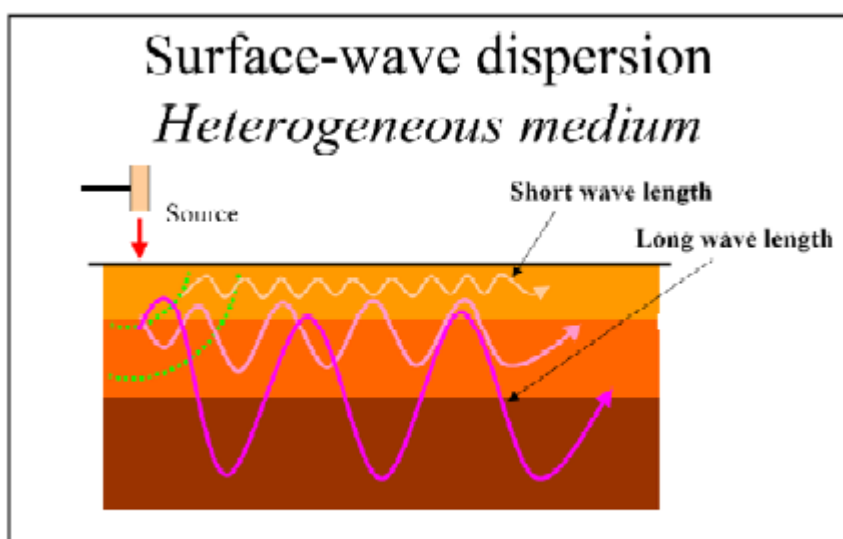


Figura 8 localizzazione stendimento R1/M1 e T1

## M.A.S.W. - Tecnica e parametri utilizzati

Il metodo MASW (Multichannel Analysis of Surface Waves) è una tecnica di indagine non invasiva, che individua il profilo di velocità delle onde di taglio verticali  $V_s$ , basandosi sulla misura delle onde superficiali fatta in corrispondenza di diversi sensori (geofoni) posti sulla superficie del suolo.

Il contributo predominante alle onde superficiali è dato dalle onde di Rayleigh, che viaggiano con una velocità correlata alla rigidezza della porzione di terreno interessata dalla propagazione delle onde. In un mezzo stratificato le onde di Rayleigh sono dispersive, cioè onde con diverse lunghezze d'onda si propagano con diverse velocità di fase e velocità di gruppo (Achenbach, J.D., 1999, Aki, K. and Richards, P.G., 1980) o detto in maniera equivalente la velocità di fase (o di gruppo) apparente delle onde di Rayleigh dipende dalla frequenza di propagazione. La natura dispersiva delle onde superficiali è correlabile al fatto che onde ad alta frequenza con lunghezza d'onda corta si propagano negli strati più superficiali e quindi danno informazioni sulla parte più superficiale del suolo, invece onde a bassa frequenza si propagano negli strati più profondi e quindi interessano gli strati più profondi del suolo." (da Caratterizzazione sismica dei suoli con il metodo MASW (Multichannel Analysis of Surface Waves – V. Roma 2006). L'indagine svolta ha visto l'applicazione di tecnica M.A.S.W. di tipo attivo, ossia misura del comportamento dei terreni a seguito di un'energizzazione.



da SAGEEP2003

L'indagine si sviluppa mediante la materializzazione sul terreno di una linea retta mediante la posa di una fettuccia metrica. A seguire vengono posizionati i geofoni intervallati ad una distanza pari a 3,0 m in funzione anche della disponibilità di spazio. Esternamente alla stesa geofonica, da ora base sismica, a distanza di interesse che può essere pari ad un multiplo della distanza intergeofonica ma anche variabile (in funzione delle disponibilità di cantiere), sia in andata (ovvero in prossimità del geofono 1) che al ritorno (ovvero all'ultimo geofono posizionato sulla base sismica), vengono svolte delle energizzazioni mediante

massa battente pari a Kg 10,0. Nel caso in esame, sono state svolte le energizzazioni in "andata" e in "ritorno" con distanza dal geofono 1 e dal geofono 24 crescente e pari a multipli della distanza intergeofonica.

Il metodo risulta efficace se la base sismica è ubicata su piano a pendenza costante e per una stratificazione piano parallela al piano topografico. Al fine di svolgere al meglio la campagna geofisica M.A.S.W., è utile che lo sviluppo lineare della base sismica sia limitata in lunghezza secondo i siti.

La maggior profondità di caratterizzazione raggiunta è legata alla minor frequenza registrata. Come già indicato nella figura, una frequenza alta caratterizza gli strati superficiali. La registrazione delle frequenze minori è destinata ai geofoni più lontani dalla sorgente.

Il numero di geofoni utile all'esecuzione ottimale di un'indagine M.A.S.W. è risultato, per il cantiere svolto, di 24 geofoni dei quali sono state utilizzate tutte le tracce. Il tempo dell'acquisizione è stato definito tra 1.00 e 2.00 secondi.

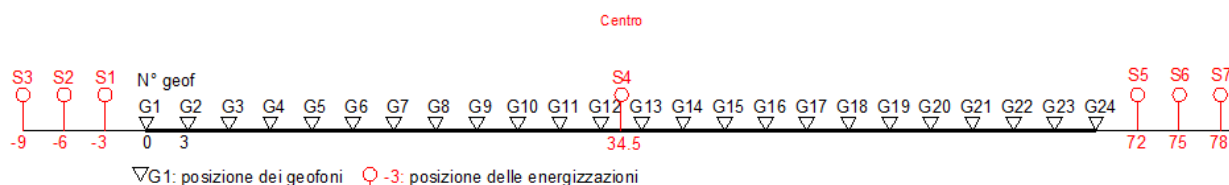


Figura 9 Schema geometrico di acquisizione dei dati per gli stendimenti di lunghezza L = 69,0 m

## MASW - Strumentazione utilizzata

Per l'esecuzione del cantiere d'interesse, ci siamo avvalsi di una strumentazione di acquisizione DoReMi, prodotto dalla SARA Electronic Instruments, 24bit con frequenza di campionamento 1000 Hz per ognuno dei canali registrati, ciascuno attrezzato con geofoni verticali SARA electronics con frequenza propria di 4.5 Hz. Per l'energizzazione ci siamo avvalsi di mazza battente da 10 kg impattante su piastra di battuta in duralluminio, diametro 18 cm, spessore 4 cm, peso 2 kg.

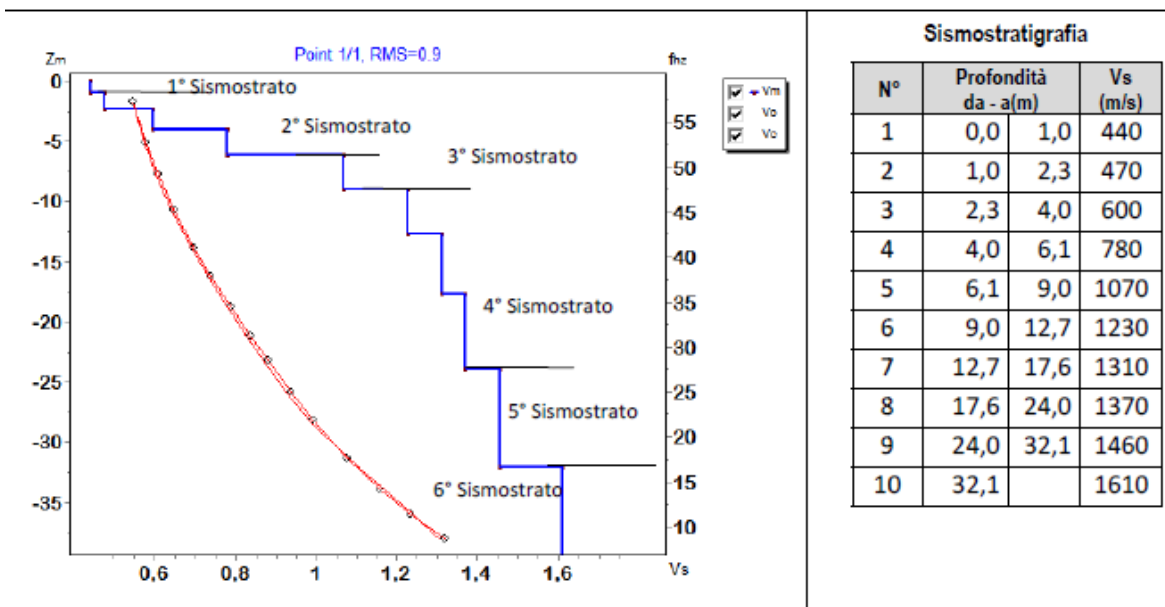
## MASW – Elaborazioni e risultati

### Base sismica M1

L'indagine sismica con tecnica MASW ha permesso di ottenere il profilo medio di velocità delle onde di taglio verticali Vs della sezione M1, dal quale si possono distinguere i sismostrati di seguito indicati. Si ricorda che si tratta di un profilo medio della velocità di taglio Vs.

Profondità [m sotto il pc]	Descrizione
0 – 1,0	1° sismostrato con Vs di 440 m/s, Terre molto addensate
1,0– 6,1	2° sismostrato con Vs tra 470 e 780 m/s, Roccia intensamente fratturata
6,1 – 9,0	3° sismostrato con Vs di 1070 m/s, Substrato roccioso intensamente fratturato
9,0 – 24,0	4° sismostrato con Vs tra 1230 e 1370 m/s, Substrato roccioso fratturato
24,0– 32,1	5° sismostrato con Vs di 1460 m/s, Substrato roccioso da fratturato a sano
>32,1	6° sismostrato con Vs di 1610 m/s, Substrato roccioso sano

MASW M1 - PROFILO Vs



La classificazione del sottosuolo si effettua in base alle condizioni stratigrafiche ed ai valori della velocità equivalente di propagazione delle onde di taglio, Vs,eq (in m/s), definita dall'espressione

$$V_{s,eq} = \frac{H}{\sum_{i=1}^N \frac{h_i}{V_{s,i}}}$$

con:

hi spessore dell'i-esimo strato;

Vs,i velocità delle onde di taglio nell'i-esimo strato;

N numero di strati;

H profondità del substrato, definito come quella formazione costituita da roccia o terreno molto rigido, caratterizzata da Vs non inferiore a 800 m/s.

Esaminato il profilo delle Vs si pone come profondità del substrato 6,1 m (Vs>800 m/s).

La velocità equivalente di propagazione delle onde di taglio calcolata per il substrato posto a 6,1 m di profondità dal p.c. è pari a: **Vs eq = 6,1/0,010418= 585 m/s** che dà luogo ad una categoria B, ossia:

**Categoria B:** Rocce tenere e depositi di terreni a grana grossa molto addensati o terreni a grana fina molto consistenti, caratterizzati da un miglioramento delle proprietà meccaniche con la profondità e da valori di velocità equivalente compresi tra 360 m/s e 800 m/s

Si precisa che per fondazioni con piano di imposta sito a profondità maggiore di 3,1 m la classe di sottosuolo passa a Categoria A, in quanto la Vs diventa maggiore di 800 m/s includendo in superficie terreni con caratteristiche meccaniche più scadenti con spessore massimo pari a 3,0 m.

Sismostrato	Prof/zona	CT*	Densità γ	Vp	Vs	Coefficiente di Poisson ν	Modulo di Young dinamico Ed	Modulo di Young statico Ed	Modulo di taglio G <sub>0</sub>	Modulo di comprimibilità o di Bulk - K
			[Kg/m <sup>3</sup> ]	[m/s]	[m/s]		[MPa]	[MPa]	[MPa]	[MPa]
1	0,0-1,0	10%	1.900	880	440	0,33	981	98	373	981
2	1,0-6,1	15%	2.000	1.250	625	0,33	2.079	312	785	2.079
3	6,1-9,0	20%	2.100	2.140	1.070	0,33	6.414	1.283	2.403	6.414
4	9,0-24,0	30%	2.200	2.600	1.300	0,33	9.915	2.974	3.717	9.915
5	24,0-32,1	40%	2.300	2.920	1.460	0,33	13.072	5.229	4.903	13.072
6	>32,1	40%	2.300	3.220	1.610	0,33	15.897	6.359	5.963	15.897

Figura 10 Parametri di deformazione dinamici e statici dei terreni determinati tramite misure sismiche

Nella **tabella 3-5** si illustrano i parametri di deformazione dinamici medi calcolati tramite correlazione bibliografica dei parametri di input Vs, e Vp e densità (da bibliografia/correlazione) per ciascun sismostrato definito dalle indagini eseguite.

### Indicazioni per la determinazione di N<sub>spt</sub> e parametri geotecnici

Sulla base delle correlazioni fornite nei precedenti paragrafi è possibile stimare una correlazione tra Vs e N<sub>spt</sub>, i parametri di resistenza al taglio e di deformazione. Nel caso in esame trattandosi di materiali a granulometria grossolana si consiglia di impiegare la correlazione di Imai (1977) di seguito indicata.

$$N_{spt} = (V_s/80,6)^3 \cdot 3,021 \quad \text{valida per i terreni prevalentemente sabbiosi - Imai (1977)}$$

### Sismica a rifrazione

In ambito d'indagini indirette l'esplorazione geofisica la sismica a rifrazione risulta tra le metodologie più affermate e meglio sperimentate. Il metodo si basa sugli effetti di rifrazione del segnale sismico in corrispondenza dell'interfaccia tra un mezzo soprastante a velocità sismica minore rispetto ad uno strato sottostante al primo con velocità sismica maggiore.

La tecnica di prospezione sismica a rifrazione consiste nella misura dei tempi di primo arrivo delle onde sismiche generate in un punto in superficie (punto di energizzazione/sparo), in corrispondenza di una molteplicità di ricevitori (geofoni) disposti allineati sulla superficie topografica.

Varie metodologie di interpretazione si sono susseguite nel tempo, passando dalle valutazioni di spessori e velocità in funzione del tempo all'intercetta fino a giungere alle più classiche interpretazioni mediante il General Reciprocal Method di Palmer '72.

Lo studio della propagazione delle onde sismiche consente di valutare le proprietà fisico - meccaniche dei terreni e il grado di addensamento e/o la compattezza dei materiali da queste attraversati.

Le profondità raggiunte sono al massimo la metà della distanza compresa tra lo shot esterno e l'ultimo geofono della stesa sismica sviluppata. È comunque generalmente considerato che la profondità esplorata non superi 1/3 dello sviluppo geometrico sopradescritto.

La capacità risolutiva in termini di spessore degli strati sismici viene ad essere valutato in circa il 25/30% della distanza geofonica.

Nel caso in esame, in funzione della lunghezza degli stendimenti sono state eseguite 9 energizzazioni-shot al fine di meglio descrivere la geometria degli orizzonti rifrattori lungo l'intera base sismica come meglio specificato nello schema di seguito rappresentato.

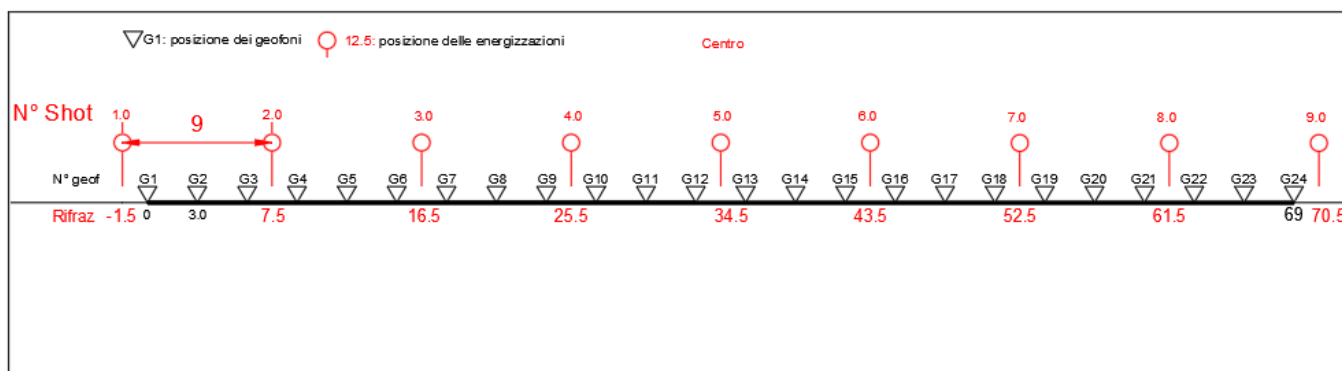


Figura 11 Stendimento (L=69m) di sismica a rifrazione in onde P con 24 geofoni e interdistanza di 3,0 m

## Sismica a Rifrazione - Strumentazione utilizzata

Per l'indagine eseguita è stata impiegata una strumentazione di acquisizione modello DoReMi a 24 bit, prodotto dalla SARA Electronics Instruments, con frequenza di campionamento 5000 Hz per ognuno dei canali registrati, ciascuno attrezzato con geofoni verticali e orizzontali della SARA electronics con frequenza propria di 10 Hz. Il numero di canali è risultato pari a n° 24 per tutti gli stendimenti. Per l'energizzazione delle onde P ci siamo avvalsi di una mazza battente da 10 kg impattante verticalmente su piastra di battuta in duralluminio, diametro 18 cm, spessore 4 cm, peso 2 kg. La quota relativa di ciascun geofono-shot è stata

rilevata tramite GPS differenziale STONEX S70G in modo da poter ricostruire la morfologia del terreno e utilizzarla in fase di elaborazione dei dati acquisiti.

L'analisi ha permesso di fatto di definire il modello geologico del sito ed in particolare, in relazione alle diverse condizioni geologiche e geostrutturali rilevate, è stato individuato nr.1 modello geologico rappresentativo sintetizzato di seguito.

## 5.2. MODELLAZIONE GEOLOGICA E GEOTECNICA DI SITO

Sulla base di quanto emerso dai rilievi e dalle indagini in sito, nell'approccio progettuale, stante il contesto geologico si evidenziano le seguenti criticità delle quali si è tenuto conto nella modellazione geotecnica del sito propedeutica alla progettazione esecutiva dell'opera e alle varie fasi di realizzazione.

L'analisi di tali fattori, funzionale alla progettazione, ha lo scopo di valutare la risposta del terreno ai nuovi carichi ed individuare azioni correttive o accorgimenti tali da limitarne gli effetti. Nello specifico:

- **Azioni sulle pareti e stabilità dei fronti.** Lo scavo stesso, in quanto genera depressione, può innescare locali smottamenti in corrispondenza degli orizzonti meno competenti a causa di fenomeni di detensionamento determinati dall'asportazione del materiale durante l'escavazione, sia in relazione alla maggiore componente fine presente sia alle direzioni del sistema di fratturazione che può generare componenti a franapoggio. L'alterazione presente nei litotipi indagati, indebolendo la roccia può localmente creare le condizioni favorevoli all'innescamento di fenomeni di smottamento pertanto si ritiene importante in fase di realizzazione degli scavi di fondazione provvedere al controllo del comportamento delle pareti ed eventualmente anche localmente all'uso di opere provvisorie di contenimento dei fronti di scavo per il tempo di posa e ricoprimento dell'opera di fondazione.

- **Circolazione idrica sotterranea secondaria o indotta** – pur se non è stata rilevata in fase di indagine, vanno considerati gli effetti dell'eventuale presenza d'acqua alla quota di imposta delle fondazioni in relazione ad una possibile circolazione idrica indotta dai fenomeni di detensionamento dovuti agli scavi, con particolare riferimento alla stagionalità degli apporti idrici e del relativo flusso negli ambiti più superficiali. In tal caso, in fase di realizzazione, sarà opportuno provvedere a mantenere lo scavo asciutto mediante l'installazione di pompe adeguatamente dimensionate per la portata da emungere.

L'analisi ha permesso di fatto di definire il modello geologico e geotecnico di sito in relazione alle diverse condizioni geologiche e geostrutturali rilevate, sintetizzato di seguito.

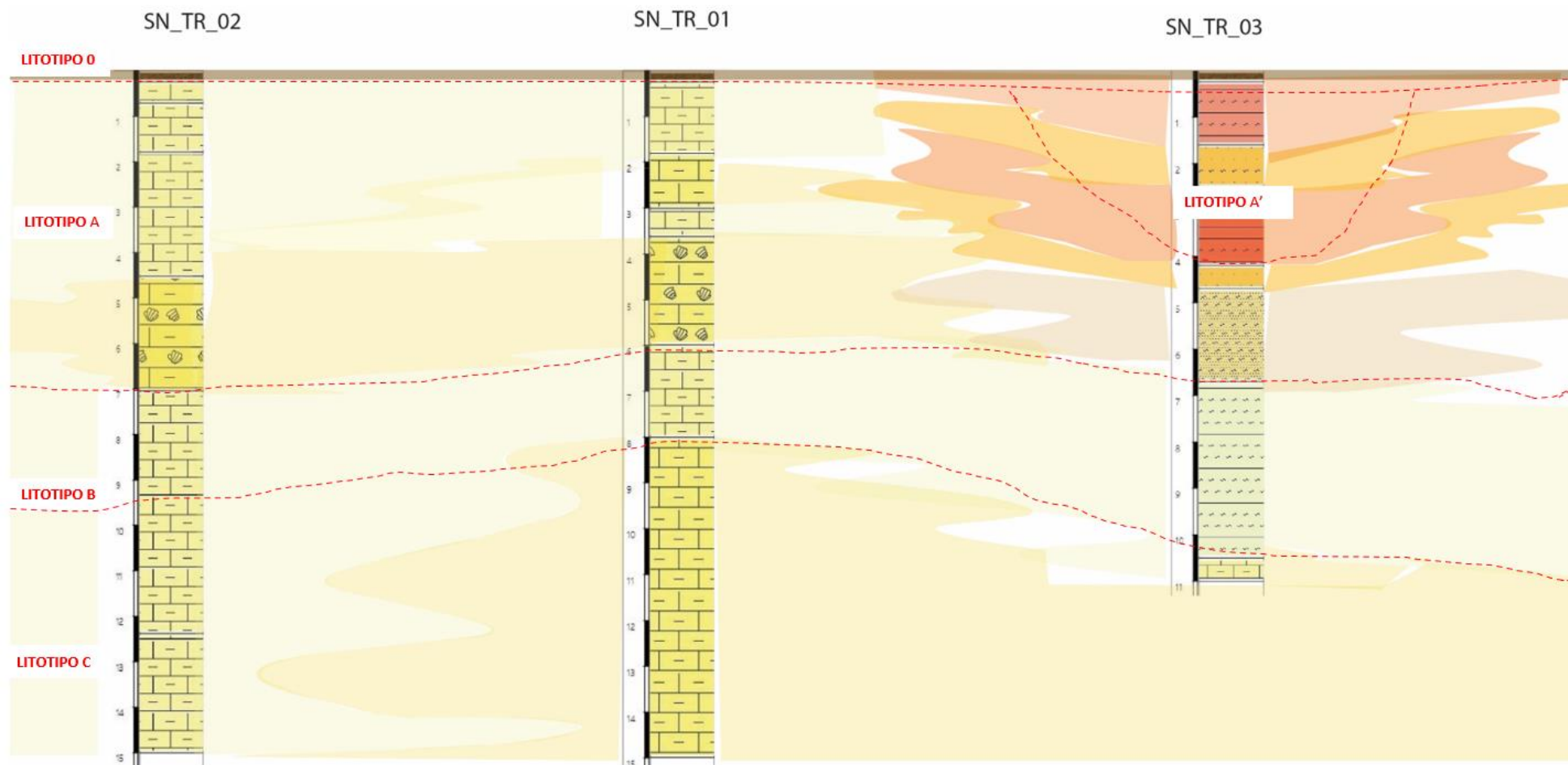


Figura 12 Modello Geologico del sito

Vengono di seguito definiti, come sintesi dei risultati delle indagini i parametri geotecnici che caratterizzano il modello geotecnico del sito.

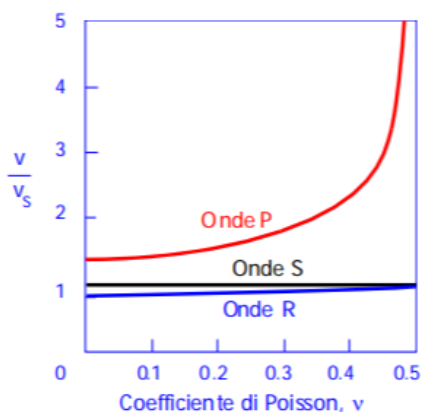
	prof. da - a	Descrizione	$\gamma_d$	$\gamma_{sat}$	$c'$	$\phi$	Vp	Vs	Nspt	Poisson	Ed – mod. Young din	Ed – mod. Young stat.	Modulo taglio G <sub>0</sub>	Mod.Comprim.Bulk	Point LOAD	Uniax compress (Mod.Y.AX)
	m		Kg/m3	Kg/m3	kPa	°	m/s	m/s			MPa	MPa	MPa	MPa	MPa	N/mm2
<b>LITOTIPO 0</b>	0,00 – 0,30	suolo	<b>1900</b>	<b>2000</b>	<b>0</b>	<b>20</b>	880	440	-	<b>0.33</b>	<b>981</b>	<b>98</b>	373	981		
<b>LITOTIPO A</b>	0,30 – 6,00	Calcarenite bianca molto fratturata	<b>2000</b>	<b>2100</b>	<b>24*</b>	<b>24,83*</b>	1250	625	10	<b>0.33</b>	<b>2079</b>	<b>312</b>	785	2079	4,22	
<b>LITOTIPO A'</b>	0,30 – 4,00	Argilla rossa dura e compatta con alternanze di livelli sabbioso-argillosi	<b>2100</b>	<b>2200</b>	<b>15*</b>	<b>18,21*</b>	1250	625	-	<b>0.33</b>	<b>2079</b>	<b>312</b>	785	2079		
<b>LITOTIPO B</b>	6,00 – 9,00	Calcarenite grossolana bianca, mediamente cementata, da  mediamente a estremamente fratturata	<b>2100</b>	<b>2200</b>	<b>22*</b>	<b>23,19*</b>	2140	1070	-	<b>0.33</b>	<b>6414</b>	<b>1283</b>	2403	6414		3,30 (6655)  2.60 (3431)
<b>LITOTIPO C</b>	9,00 – 15,00	Calcare giallo mediamente cementato molto fratturato	<b>2200</b>	<b>2300</b>	<b>23,1</b>	<b>34,3</b>	2600	1300	-	<b>0.33</b>	<b>9915</b>	<b>2974</b>	3717	9915	4,56 3,45 3,69	

Tabella 2 Modello geotecnico e parametri caratteristici dei litotipi 0, A, A' e B

## 5.1. TABELLA DI SINTESI DELLE PROPRIETÀ DI SINTESI DEI TERRENI DI INTERESSE

Di seguito si riporta la stima del valore di  $V_r$  (m/sec) in relazione alla misura di  $V_s$  effettuata mediante l'indagine geofisica tipo MASW correlate come da schema riportato di fianco:

il rapporto  $V_p/V_s$  dipende dal coefficiente di Poisson; in genere la  $V_r$  è sempre di poco minore della  $V_s$



per  $v = 0.25$   $V_r = 0.919 V_s$

$v = 0.33$   $V_r = 0.933 V_s$

$v = 0.40$   $V_r = 0.943 V_s$

$v = 0.50$   $V_r = 0.955 V_s$

Modello Geologico di sito– Profilo sismico M1

$v = 0,33$   $V_r = 0,933 V_s$

Modello geologico di sito

profondità in m (da-a)	$V_s$ (m/sec)	$v$	$V_r$ (m/sec)
0,00 – 0,30	440	0,33	410
0,30 - 6,00	625	0,33	583
6,00 – 9,00	1070	0,33	998
9,00 - 15,00	1300	0,33	1213

## 6. PROPAGAZIONE DELLE VIBRAZIONI NEL TERRENO

Le caratteristiche dei fenomeni vibratorii che possono interessare un edificio variano in modo sostanziale in funzione della natura della sorgente di eccitazione e delle caratteristiche dinamiche dell'edificio stesso. Per una corretta esecuzione delle misurazioni, premessa necessaria per giungere a descrivere completamente il fenomeno e valutare quindi la possibilità che esso produca danni, è necessario tenere conto dei seguenti fattori:

- meccanismo di eccitazione e trasmissione;
- durata del fenomeno;
- natura deterministica o aleatoria del fenomeno;
- distribuzione spettrale dell'energia.

L'energia immessa nel terreno dalla sorgente, quando questa è esterna all'edificio, genera onde "elastiche" che raggiungono la fondazione modificandosi nel loro contenuto spettrale per effetto delle **caratteristiche fisico-meccaniche del terreno** attraversato.

Il fenomeno si traduce, nella generalità dei casi, in **un'attenuazione dell'intensità del moto**, man mano che ci si allontana dalla sorgente, per effetto delle **proprietà dissipative del terreno** e per un effetto geometrico. Usualmente tale fenomeno è più sensibile per le componenti del moto alle alte frequenze e nei terreni incoerenti e di tipo sciolto e dà quindi luogo ad uno spettro (del moto alla base) caratterizzato da un contenuto spettrale più ricco in basse frequenze.

In alcuni casi, quando si è in presenza di condizioni stratigrafiche particolari, possono verificarsi fenomeni di risonanza che tendono ad amplificare alcuni valori spettrali rispetto ad altri.

La norma UNI 9614/2017, che richiama e fa riferimento primario alla ISO 2631-2:2003 prevede di valutare il livello complessivo di accelerazione ponderata nell'intervallo da 1 ad 80 Hz: se il segnale disturbante è caratterizzato da un'emissione concentrata entro una singola banda di 1/3 di ottava, è sufficiente correggere il valore misurato applicando la correzione riportata in Fig. 11 (ad esempio essa vale -19 dB a 50 Hz). Se viceversa lo spettro è continuo ed esteso a più bande, occorre anzitutto calcolare il livello di accelerazione corretto a ciascuna frequenza, indi sommare energeticamente i livelli di accelerazione alle varie frequenze onde ricavare il valore complessivo:

$$L_{acc,w,tot} = 10 \cdot \lg \left[ \sum_i 10^{(L_{acc,i} + C_i) / 10} \right]$$

Questa metodica rende tuttavia le cose molto complicate in presenza di fenomeni di propagazione che producono un'attenuazione con la distanza che dipende fortemente dalla frequenza. Occorre, infatti, effettuare un calcolo separato della propagazione a ciascuna frequenza, e ricalcolare poi, punto per punto, il livello di accelerazione complessiva ponderata.

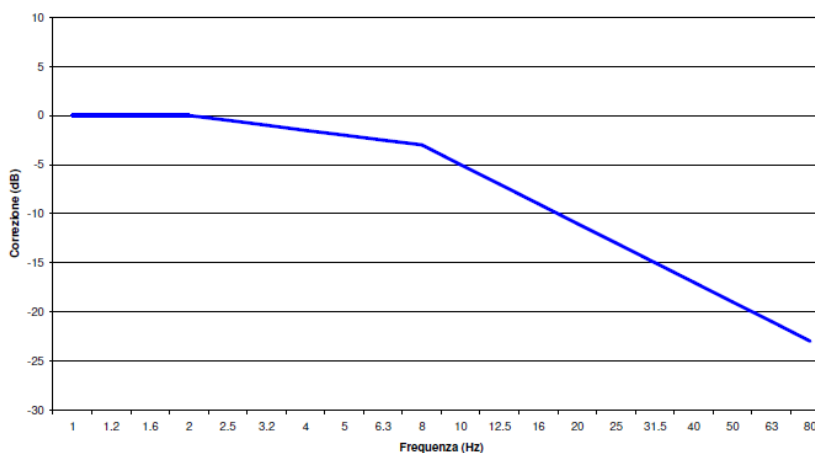


Figura 13 Curva di ponderazione asse generico

Le vibrazioni si propagano nel terreno circostante, alla zona della sorgente, subendo un'attenuazione dipendente dalla natura del terreno, dalla frequenza del segnale, e dalla distanza fra il punto di eccitazione e quello di valutazione dell'effetto.

Si deve distinguere tra tre tipi principali di onde che trasportano energia vibrazionale:

1. Onde di compressione (onda P)
2. Onde di taglio (onda S)
3. Onde di superficie (orizzontali, onde R, e verticali, onde L)

I primi due tipi sono onde di volume ("body-waves"), mentre le onde di superficie, come dice il nome, si propagano sull'interfaccia fra due strati con diverse proprietà meccaniche, principalmente quindi sulla superficie di separazione fra terreno ed aria. La seguente figura mostra schematicamente i diversi tipi di onde.

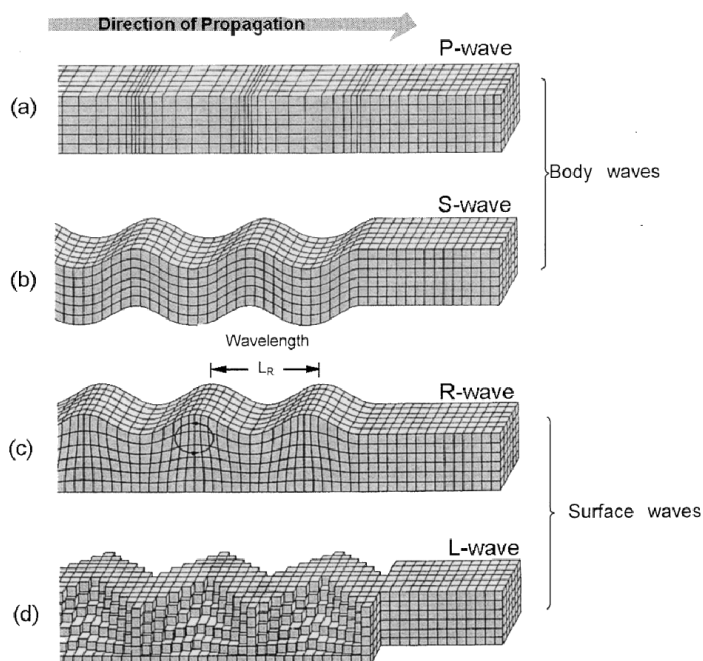


Figura 14 - Tipologia di onde: a) e b) onde di volume, c) e d) onde di superficie

La velocità di propagazione dei diversi tipi di onde non è la stessa: le onde di compressione (onde P) sono le più veloci, mentre le onde di taglio e di superficie viaggiano con velocità più basse, in dipendenza del valore del modulo di Poisson del terreno. La fig.15 mostra il rapporto fra velocità di propagazione delle onde P ed R riferito alla velocità di propagazione delle onde di superficie S.

Ne consegue che l'onda che maggiormente interagisce con gli elementi strutturali (fondazioni, murature portanti, tramezzi e solai) degli edifici sono le onde di superficie  $V_r$ .

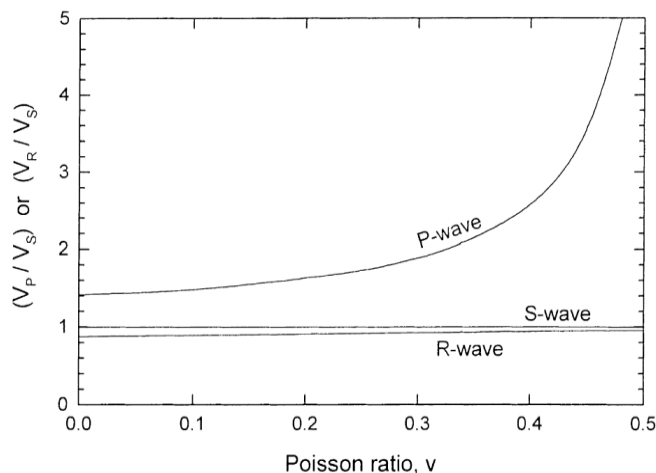


Figura 15 - rapporto tra le velocità di propagazione Vp e Vr

Nell'effettuare un calcolo analitico della propagazione di vibrazioni si effettuano diverse ipotesi semplificatrici:

1. si considera il terreno omogeneo e isotropo
2. la propagazione dell'energia vibrazionale avviene sulla superficie del suolo per mezzo di onde di Rayleigh; l'effetto delle onde primarie, secondarie e di Love è trascurato
3. ogni sorgente emette energia vibrazionale in superficie in modo omnidirezionale.

## 7. MODELLO DI PROPAGAZIONE DELL'ONDA NEL TERRENO

Il modello di propagazione impiegato, valido per tutti tre i tipi di onde considerati (P, S, R) è basato sulla seguente formulazione:

$$a(d, f) = a(d_0, f) \cdot \left(\frac{d_0}{d}\right)^n \cdot e^{-2 \cdot \pi \cdot f \cdot \eta / c \cdot (d - d_0)}$$

In cui  $\eta$  è il fattore di perdita del terreno,  $c$  la velocità di propagazione in m/s,  $f$  la frequenza in Hz,  $d$  la distanza in m e  $d_0$  la distanza di riferimento a cui è noto lo spettro di emissione.

L'esponente  $n$  è funzione della tipologia di sorgente e dalla profondità. Pertanto, per sorgenti poste in superficie (es. fondazioni superficiali, scavi poco profondi, etc) si assume  $n=0,5$  e  $n=1$  per sorgenti profonde (fondazioni su pali, perforazioni, etc).

Tipo di terreno	$\eta$
Roccia	0.01
Sabbia, ghiaia, ciottoli	0.1
Limi, argille	0.2 - 0.5

Il fattore di smorzamento o di perdita del terreno  $\eta$  è funzione della natura del terreno ed è in generale pari a 0,1 per sabbie, ghiaie, o simili e 0,01 per gli elementi lapidei.

## 8. VALUTAZIONE DELLA PROPAGAZIONE DELLE VIBRAZIONI

Sulla base dei dati relativi ai singoli modelli geologici rappresentativi del sito di interesse si sono definiti i valori del fattore di smorzamento  $\eta$  e dell'esponente  $n$  di seguito riportati.

Poiché i lavori interesseranno solo gli strati superficiali verranno valutate le vibrazioni prodotte dai mezzi meccanici fino a 2m tenendo conto degli sismostrati rilevati e delle relative velocità  $V_r$  calcolate per ognuno di essi. Nello specifico si prenderà in considerazione come rappresentativo e maggiormente cautelativo il valore di  $V_s = 625$  m/sec.

Modello Geologico di sito– Profilo sismico M1  $v = 0,33$   $V_r = 0,933 V_s$

profondità in m (da-a)	$V_s$ (m/sec)	$v$	$V_r$ (m/sec)	$\eta$	$n$
0,00 – 0,30	440	0,33	410	0.05	0.5
0,30 - 6,00	625	0,33	583	0.05	0.5
6,00 – 9,00	1070	0,33	998	0.01	0.5
9,00 - 15,00	1300	0,33	1213	0.01	0.5

Se da una parte la **caratterizzazione geotecnica di dettaglio del sito** ha permesso di risalire con una buona approssimazione al **reale comportamento della propagazione delle onde superficiali** che generano la maggiore componente vibrazionale, allo stato attuale non è possibile effettuare **misure dirette sulle configurazioni di cantiere previste** (macchine e attrezzature) per **l'assenza di mezzi analoghi nel sito di progetto** ma anche in quelli più prossimi e geologicamente simili **assimilabili a quello in progetto**. Le misure su cantieri **non assimilabili** si riferirebbero a contesti non realistici e perciò **non rappresentativi**.

Pertanto, al fine di poter avere un quadro di riferimento della situazione benché non esaustivo per le ragioni appena espresse, verrà effettuata una disamina degli scenari maggiormente impattanti attraverso l'utilizzo di dati di letteratura (ammessa dalla norma – App.C punto C.4) rimandando alla fase esecutiva l'effettuazione di tutte le misure dirette e relative elaborazioni da effettuarsi secondo quanto previsto al punto 6 e 8 della UNI 9614/2017.

## 9. SORGENTI DI VIBRAZIONE

La norma UNI 9614/2017 al punto 5 suddivide le sorgenti per tipologia in funzione di:

1. posizione rispetto agli edifici,
2. funzione,
3. caratteristiche della durata della vibrazione prodotta ovvero in funzione al periodo di attività della sorgente.

Nel caso specifico in studio le sorgenti sono:

1. rispetto alla posizione – **esterne agli edifici;**
2. rispetto alla funzione – **legate ad attività non essenziali e legate ad attività che non possono essere contemplate tra quelle interrompibili con successivi danni ad impianti, pericolo di incidenti e danni a produzioni.**
3. rispetto al periodo di attività della sorgente – **tra le sorgenti temporanee presenti per gran parte della giornata (cantieri).**

### 9.1. ANALISI DELLA FASE DI CANTIERE PER LA COSTRUZIONE DELLE OPERE IN PROGETTO

In fase di valutazione previsionale, per quantificare il potenziale impatto delle vibrazioni relativo alla fase di costruzione e di installazione dei generatori si fa riferimento ad un programma di massima delle attività di cantiere ed in particolare alle fasi di lavorazione che possono risultare maggiormente gravose sotto il profilo vibratorio perché, ad esempio, comprendono l'impiego di attrezzature e macchinari che devono funzionare all'aperto.

In particolare, la fase di sbancamento preliminare alla erezione delle torri e di getto di calcestruzzo per costituire le platee ed i basamenti delle torri medesime e la realizzazione della nuova viabilità di servizio costituiscono potenzialmente la fase di attività più importante, senza sottovalutare quella relativa alla movimentazione di attrezzature e mezzi mediante autocarri che andranno ad incidere sulla viabilità. Si prevede infatti l'impiego di escavatori, dumpers, betoniere, attrezzi ed utensili manuali. Inoltre, il cantiere può indurre un incremento di traffico stradale sulla viabilità locale.

Tali attività non vengono svolte simultaneamente in tutti i siti di installazione degli aerogeneratori, ma vengono compiute un sito per volta ed inoltre, benché la valutazione degli impatti negli scenari a seguire sarà fatta considerando la contemporaneità di attività dei mezzi, questo nella realtà non avviene.

Si prevede che le attività saranno svolte unicamente in periodo diurno ed in normale orario lavorativo e, pertanto, **non si fa riferimento al periodo notturno. Non sono altresì previsti, in questa fase lavorazioni nei giorni festivi.** Tuttavia, se per qualche ragione non prevedibile in questa fase, si dovesse necessariamente lavorare in uno dei periodi sopracitati, verrà messo in atto quanto contenuto nel **Piano di Gestione dell'Impatto Vibrazionale di Cantiere** da redigere prima dell'inizio dei lavori.

## 9.2. POTENZIALE INCREMENTO DEI FLUSSI DI TRAFFICO INDOTTO DAL CANTIERE SULLA VIABILITÀ LOCALE

Per quanto riguarda il traffico indotto dal cantiere, si prevede un flusso di mezzi per il trasporto di materiali, componenti e personale quantificabile punte di 100-120 transiti giornalieri concentrati per una decina di giorni in occasione dell'approntamento delle materie necessarie alla realizzazione delle opere fondanti e della struttura degli aerogeneratori, in aggiunta al flusso di traffico locale attualmente presente (poche decine di veicoli/giorno) sulla viabilità di accesso al cantiere.

## 9.3. MODELLO PER IL CALCOLO DELL'IMPATTO DOVUTO ALLE VIBRAZIONI IN FASE DI CANTIERE

Sulla base del cronoprogramma indicato negli elaborati progettuali con riferimento allo spettro di emissione delle macchine operatrici e dell'incremento previsto nei flussi di traffico stradale, è stato sviluppato un modello di calcolo previsionale dell'impatto della componente vibrazioni da applicare a scenari individuati come rappresentativi delle attività e indicati di seguito, in prossimità dei ricettori maggiormente sensibili.

Sono stati individuati i seguenti scenari maggiormente impattanti dal punto di vista della propagazione di vibrazioni:

**Scenario 01** – attività di sistemazione della rete viaria e opere civili sottostazione di trasformazione;

**Scenario 02** – attività di posa dei cavidotti;

**Scenario 03** – attività di realizzazione delle fondazioni delle torri di supporto;

Gli scenari di calcolo considerano la contemporaneità nell'utilizzo dei mezzi di cantiere (condizione più sfavorevole) e le **peggiori condizioni di trasmissione delle vibrazioni dal mezzo substrato** in un orario di lavoro compreso tra le 7:30 e le 13:00 e poi tra le 14:00 e le 16:30.

Il calcolo è stato effettuato utilizzando la regola cosiddetta **SRSS** ovvero **Square Root of the Sum of Squares** che viene utilizzata in presenza di sorgenti multiple. Normalmente i mezzi d'opera non saranno impiegati continuativamente e contemporaneamente. Inoltre, durante l'orario di cantiere è previsto che i macchinari abbiano delle fermate legate alle necessità produttive.

La norma **UNI 9614/2017** prevede che sia considerata periodo diurno la fascia oraria dalle 6.00 alle 22.00 (punto 3.17) e fissa il limite per la massima accelerazione a **7,2 mm/s<sup>2</sup>** (punto 9.1).

Altresì nella valutazione del disturbo e sempre cautelativamente, i macchinari verranno considerati posizionati nel punto più vicino al ricettore in relazione all'attività da essi svolta.

Non è tuttavia possibile escludere il verificarsi di eventuali superamenti temporanei dei limiti differenziali solamente in occasione di specifiche o particolari lavorazioni svolte in vicinanza dei ricettori.

In questi casi si deve fare riferimento alla **gestione di attività temporanee (cantieri) in deroga ai limiti massimi previsti dalla norma UNI 9614/2017** al punto 9.5 e contenuta nell'**Appendice C** che prevede la stesura del **Piano di Gestione dell'Impatto Vibrazionale di Cantiere** da redigere prima dell'inizio dei lavori.

Al fine della valutazione della distanza oltre la quale il valore di vibrazione è inferiore alle soglie limite dettate dalla norma si sono prese in considerazione le caratteristiche geologiche del modello geologico di sito rappresentativo.

profondità in m (da-a)	Vs (m/sec)	v	Vr (m/sec)		
0,00 – 0,30	440	0,33	410	0.05	0.5
0,30 - 6,00	625	0,33	583	0.01	0.5
6,00 – 9,00	1070	0,33	998	0.01	0.5
9,00 - 15,00	1300	0,33	1213	0.01	0.5

#### 9.4. SCENARI DI RIFERIMENTO DI CANTIERE

**Scenario 01** – attività di sistemazione della rete viaria e opere civili sottostazione di trasformazione: Il modello previsionale utilizzato per la valutazione dell'impatto dovuto a vibrazioni comprende le seguenti macchine operatrici:

1. Pala cingolata
2. Autocarro
3. Rullo vibrante
4. Escavatore

**Scenario 02** – attività di posa dei cavidotti: Il modello previsionale utilizzato per la valutazione dell'impatto dovuto a vibrazioni comprende le seguenti macchine operatrici:

1. Escavatore
2. Autocarro

**Scenario 03** – attività di realizzazione delle fondazioni e piazzole delle torri di supporto agli aerogeneratori: Il modello previsionale utilizzato per la valutazione dell'impatto dovuto a vibrazioni comprende le seguenti macchine operatrici:

1. Escavatore
2. Martellone idraulico
3. Autocarro
4. Pala cingolata
5. Betoniera\*
6. Gru\*

MOD. GEO.03	Distanza minima oltre la quale il valore di vibrazione è inferiore alla soglia limite di 7,2 mm/sec <sup>2</sup>
Scenario 01	228 m
Scenario 02	156 m
Scenario 03**	228 m

\*Gli spettri di emissione per questi macchinari non sono reperibili in letteratura; pertanto, per la loro valutazione si rimanda alla campagna di misure prevista nel piano di cantierizzazione in fase esecutiva.

\*\* valore indicativo ottenuto senza il contributo di autobetoniera e gru.

## 9.5. SCENARI DI RIFERIMENTO DI ESERCIZIO

Le fonti di rumore e vibrazione emesse da una turbina eolica sono essenzialmente di natura aerodinamica, (causate dall'interazione tra il vento e le pale), meccanica (generate dagli attriti meccanici dei componenti del rotore e del sistema di trasmissione del generatore) e cinetica (generate dalle oscillazioni e dal passaggio e cambiamento di stato da stazionario a combinato).

Le oscillazioni sono causate dal vento che insiste sul piano del rotore degli aerogeneratori generando momenti forzanti opportunamente controllati dalle strutture di fondazione, nonché dall'interazione aerodinamica e meccanica delle pale con la torre.

Diversi studi della BWEA (British Wind Energy Association) hanno mostrato che a distanza di poche decine di metri il rumore risultante dalle esigue vibrazioni prodotte dalle turbine eoliche risulta sostanzialmente poco distinguibile rispetto al rumore residuo.

In particolare, **per i fenomeni vibratorii è possibile analizzare come questi si trasmettono nel terreno circostante le fondazioni di sostegno delle torri degli aerogeneratori.**

Le vibrazioni perdono energia durante la propagazione nel terreno e la loro ampiezza diminuisce con l'aumentare della distanza dalla sorgente.

Vari studi inerenti a Wind Farm realizzate con questo modello di pala eolica riportano che le vibrazioni associate al funzionamento delle turbine eoliche possono essere rilevate con gli strumenti, ma lo sono sotto la soglia di percezione, anche all'interno di un parco eolico, rilevando valori ben al di sotto dei limiti di percezione umana. Anche da monitoraggi diretti attraverso accelerometri risulta che i movimenti sismici (vibrazioni) indotti sul terreno sono così basse da difficilmente indurre qualsiasi risposta fisica e/o strutturale. Due studi MA DEP review (Styles 200521; Schofield 201022) indicano che a 100m di distanza da una turbina il moto massimo indotto è pari a circa 120 nanometri (circa 1Hz).

Infine, il Ministero dell'Ambiente, del Clima e dell'Energia dello Stato federale del BadenWuerttemberg, Germania, ha pubblicato uno studio dettagliato sugli infrasuoni e le vibrazioni

indotte da turbine eoliche. I risultati hanno rilevato che i livelli di velocità di vibrazione di una turbina Nordex N117 da 2,4 MW a distanze inferiori a 300 metri erano inferiori a  $0,1 \times 10^{-4}$  metri/sec.

Le misurazioni delle vibrazioni trasmesse al suolo sono state effettuate da Epsilon su turbine Siemens 2.3 e GE 1.5sle.

Le velocità di vibrazione RMS massime al suolo erano 0,071 mm/secondo ( $0,71 \times 10^{-4}$  metri/secondo) nella banda di un terzo di ottava a 8 Hz. Questo è stato misurato circa 300m sottovento da un WTG GE 1.5sle sotto la massima potenza e maggior condizione di vento al suolo.

La velocità di vibrazione terrestre di fondo RMS alla stessa posizione era di 0,085 mm/sec. Nessuna vibrazione percettibile è stata avvertita dal funzionamento delle turbine eoliche. Il GE 1.5sle ha una velocità di rotazione massima di 20 rpm (frequenza di passaggio della lama di 1 Hz) e Siemens 2.3 ha a velocità di rotazione massima di 15,4 giri/min (frequenza di passaggio lama di 0,77 Hz).

Le frequenze massime di rotazione per le turbine eoliche del progetto proposto sono:

◆ Vestas V172-7.2 = 12,1 giri/min

Pertanto, la vibrazione trasmessa dal suolo può essere rilevata dagli strumenti ma non è diversa dalla vibrazione di fondo sempre presente e non preoccupante.

In fase di esercizio sarà definito un piano di monitoraggio nel tempo che consideri anche le eventuali variazioni di livello di vibrazioni al suolo dovute all'usura delle strutture.

Relativamente alla valutazione del disturbo in fase di esercizio dovuto a vibrazioni provenienti dal funzionamento degli aerogeneratori, poiché queste vengono totalmente dissipate dai corpi di fondazione non propagandosi nell'ambiente circostante, non si manifestano problematiche legate al disturbo alla persona e/o a eventuali danni alle strutture.

Qualora, in fase di esercizio, si dovesse eseguire un intervento di manutenzione straordinaria che prevede l'utilizzo di macchine operatrici le cui vibrazioni in fase di attività sono potenzialmente impattanti, verrà opportunamente redatto un apposito piano di monitoraggio e si farà riferimento a tutte le direttive previste dalla UNI 9614/2017 all'Appendice C per la gestione degli effetti prodotti da vibrazioni in attività temporanee (cantieri).

## 9.6. LIMITI DI RIFERIMENTO

Il problema della percezione umana delle vibrazioni in termini di disturbo (annoyance) dipende dalla tipologia di attività svolta e dall'intensità e frequenza che essa genera e che produce la vibrazione. I limiti di riferimento sono riportati dalla norma **UNI 9614/2017** che suddivide gli edifici in base alla loro destinazione d'uso in 5 classi, ipotizzando quindi una differente sensibilità alle vibrazioni e al punto 9, ai fini

della valutazione del disturbo dovuto a vibrazioni e indica dei limiti per le accelerazioni con riferimento alla tollerabilità a fenomeni vibratorii.

Di seguito vengono riportati per i diversi tipi di ambiente e per i diversi periodi della giornata i valori limite di disturbo.

Ricettore	Periodo	Accelerazione ponderata della sorgente (mm/sec <sup>2</sup> )
Ambienti ad uso abitativo (punto 9.1)	Diurno	7,2
	Notturmo	3,6
	Diurno di giornate festive	5,4
Luoghi lavorativi (punto 9.2.1)	Non specificato	14
Ospedali, case di cura ed affini (punto 9.2.2)	Non specificato	2
Asili e case di riposo (punto 9.2.3)	Limitatamente ai periodi in cui è previsto riposo diurno	3.6
Scuole (punto 9.2.4)	Limitatamente nel periodo di fruizione	5,4

Figura 16 Valori limite delle accelerazioni complessive ponderate in frequenza

La sensibilità umana è variabile con la frequenza, e dipende dall'asse cartesiano considerato rispetto al riferimento relativo al corpo umano. Le curve di sensibilità umana sono codificate dalla norma tecnica UNI 9614/2017, rispetto ai sistemi di riferimento per persone sdraiate, sedute o in piedi, riportato nelle seguenti figure:

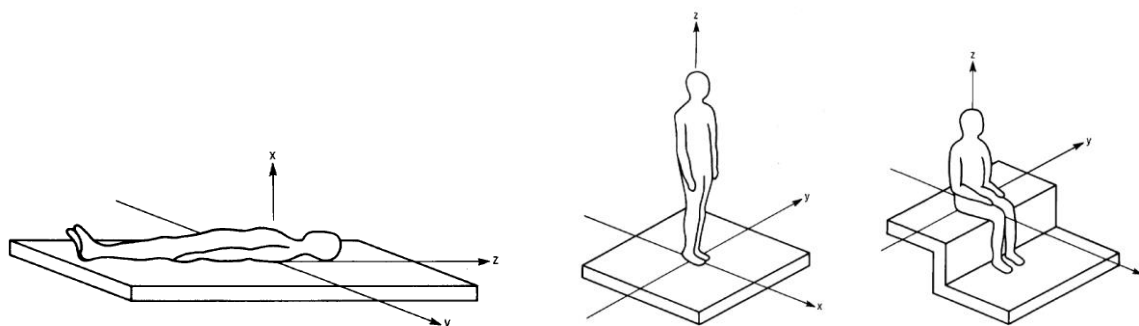


Figura 17 Sistema cartesiano di riferimento per persona sdraiata, in piedi o seduta

Il campo di frequenze considerato è 1÷80 Hz. Al segnale di accelerazione rilevato devono essere applicati per le singole frequenze dei valori di attenuazione (curve di ponderazione) al fine di rendere equivalente la percezione umana alle varie frequenze.

Nel caso considerato, tuttavia, la popolazione si troverà esposta indifferentemente su uno dei tre assi, a seconda della giacitura dei soggetti, che è ovviamente non predeterminale e variabile nel corso delle 24 ore. In tali casi, la norma UNI 9614/2017 prevede l'impiego di una curva di ponderazione per asse generico (o meglio, per asse non definibile), che è riportata nella seguente figura.

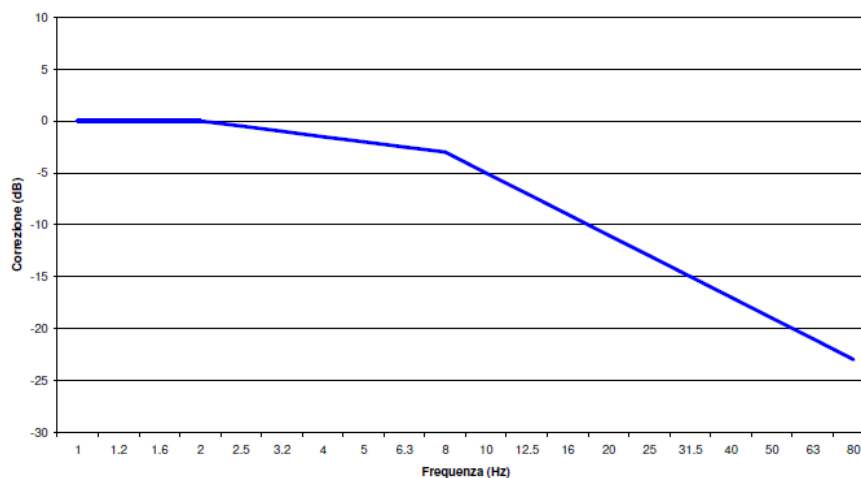


Figura 18 Curva di ponderazione per un asse generico - UNI 9614

Per quanto concerne il danno strutturale i limiti presi in considerazione nella norma UNI 9614/2017, risultano più elevati per almeno un ordine di grandezza a ciascuna frequenza, dei limiti individuati dalla norma UNI 9916/2014 nei riguardi del danno potenziale alle strutture. Ne consegue che la verifica dei limiti secondo la norma 9614/2017 esclude il generarsi di effetti dannosi sulle strutture dei ricettori considerati. **Tuttavia, in fase esecutiva, sarà effettuata una campagna di misure sui fabbricati qualificati come ricettori sensibili secondo quanto previsto dalla norma 9916/2014 ai punti 6,7 e 8.**

Di seguito si riportano i Valori di Riferimento per la valutazione degli effetti delle vibrazioni secondo la DIN 4150 a cui fa riferimento la UNI 9916/2014 al punto 9.

La DIN4150-3 considera 3 classi di edifici:

1. Edifici industriali e ostruzioni strutturalmente simili;
2. Edifici residenziali e costruzioni simili;
3. Costruzioni che non appartengono alle prime due categorie e sono degne di essere tutelate

(per esempio monumenti storici)

E considera due tipi di vibrazione:

1. Vibrazione di breve durata;
2. Vibrazione permanente

prospetto D.1 **Valori di riferimento per la velocità di vibrazione (p.c.p.v.) al fine di valutare l'azione delle vibrazioni di breve durata sulle costruzioni**

Classe	Tipo di edificio	Valori di riferimento per la velocità di vibrazione p.c.p.v. in mm/s				
		Fondazioni			Piano alto	Solai Componente Verticale
		Da 1 Hz a 10 Hz	Da 10 Hz a 50 Hz	Da 50 Hz a 100 Hz <sup>*)</sup>	Per tutte le frequenze	Per tutte le frequenze
1	Costruzioni industriali, edifici industriali e costruzioni strutturalmente simili	20	Varia linearmente da 20 ( $f=10$ Hz) a 40 ( $f=50$ Hz)	Varia linearmente da 40 ( $f=50$ Hz) a 50 ( $f=100$ Hz)	40	20
2	Edifici residenziali e costruzioni simili	5	Varia linearmente da 5 ( $f=10$ Hz) a 15 ( $f=50$ Hz)	Varia linearmente da 15 ( $f=50$ Hz) a 20 ( $f=100$ Hz)	15	20
3	Costruzioni che non ricadono nelle classi 1 e 2 e che sono degne di essere tutelate (per esempio monumenti storici)	3	Varia linearmente da 3 ( $f=10$ Hz) a 8 ( $f=50$ Hz)	Varia linearmente da 8 ( $f=50$ Hz) a 10 ( $f=100$ Hz)	8	3/4

\*) Per frequenze oltre 100 Hz possono essere usati i valori di riferimento per 100 Hz.

prospetto D.2 **Valori di riferimento per le componenti orizzontali della velocità di vibrazione (p.c.p.v.) al fine di valutare l'azione delle vibrazioni durature sulle costruzioni**

Classe	Tipo di edificio	Valori di riferimento per la velocità di vibrazione p.c.p.v. in mm/s (per tutte le frequenze)
1	Costruzioni industriali, edifici industriali e costruzioni strutturalmente simili	10
2	Edifici residenziali e costruzioni simili	5
3	Costruzioni che non ricadono nelle classi 1 e 2 e che sono degne di essere tutelate (per esempio monumenti storici)	2,5

Figura 19 Valori Limite di riferimento per vibrazioni di breve durata e permanenti (9916/2014)

## 9.7. RECETTORI

L'analisi dei ricettori è stata effettuata entro un raggio di 1000m dalle aree di cantiere e dalla viabilità di servizio. Successivamente si sono presi in considerazione gli scenari di cantiere maggiormente impattanti e da questi si sono derivate le distanze massime oltre le quali le vibrazioni potenzialmente prodotte non superano i valori soglia dettati dalla norma 9614/2017.

## 9.8. SPETTRI DI EMISSIONE DELLE MACCHINE OPERATRICI

### 9.8.1. PROPAGAZIONE DELLE VIBRAZIONI DI UN RULLO VIBRANTE

Vengono di seguito riportati i risultati del modello previsionale descritto per un rullo vibrante e per i modelli geologici di riferimento di cui al cap.8.

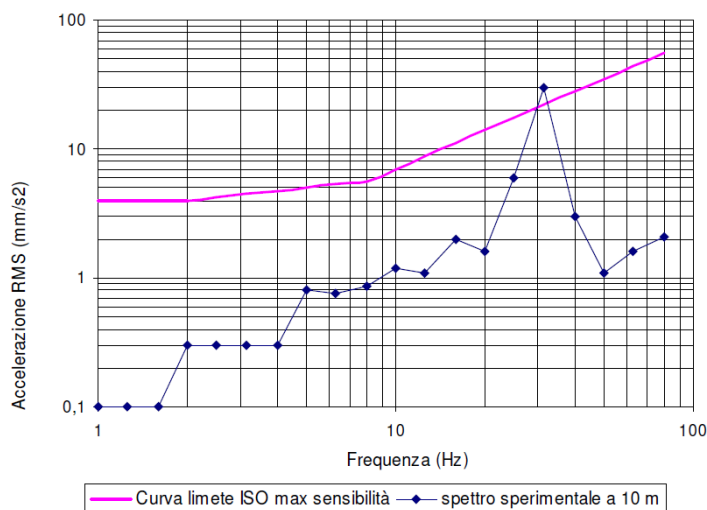


Figura 20 Spettro di emissione della sorgente di un rullo vibrante a 10mdall'asse di cantiere

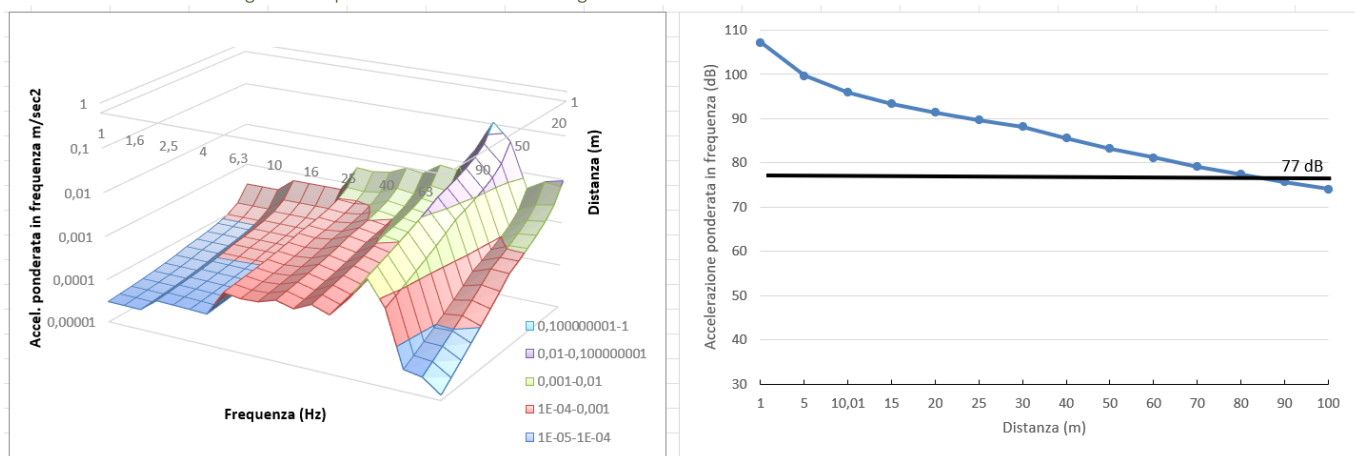


Figura 21 Modifica dello spettro dell'accelerazione ponderata in funzione della distanza e della frequenza e curva di propagazione delle vibrazioni

### 9.8.2. PROPAGAZIONE DELLE VIBRAZIONI DI UNA PALA CINGOLATA

Vengono di seguito riportati i risultati del modello previsionale descritto per una pala cingolata e per i modelli geologici di riferimento di cui al cap.8.

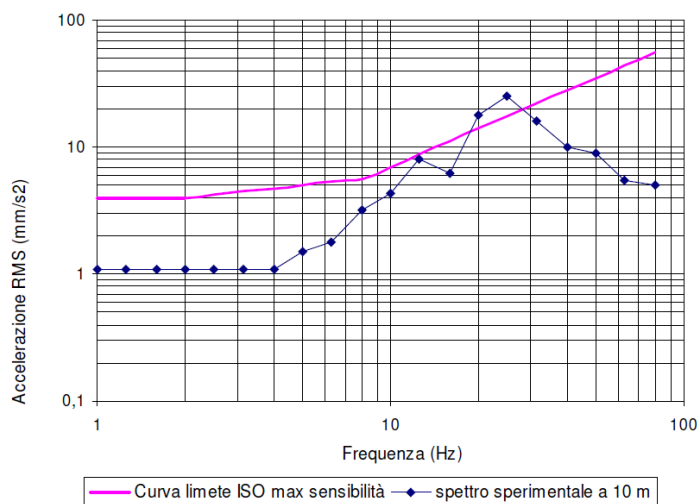


Figura 22 Spettro di emissione della sorgente di una pala cingolata a 10m dall'asse di cantiere

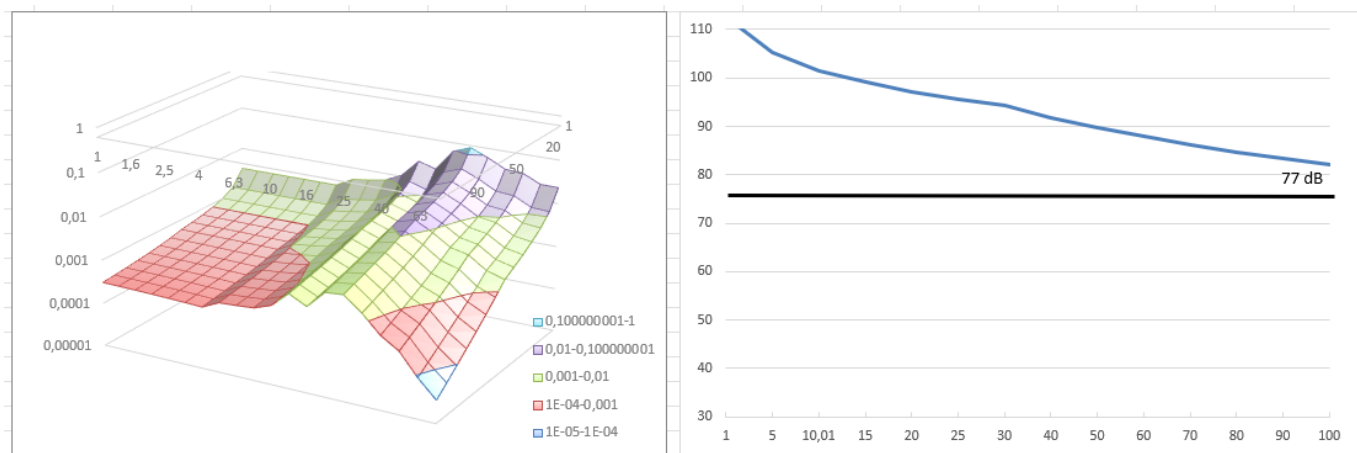


Figura 23 Modifica dello spettro dell'accelerazione ponderata in funzione della distanza e della frequenza e curva di propagazione delle vibrazioni

### 9.8.3. PROPAGAZIONE DELLE VIBRAZIONI DI UN AUTOCARRO

Vengono di seguito riportati i risultati del modello previsionale descritto per un autocarro e per i modelli geologici di riferimento di cui al cap.8.

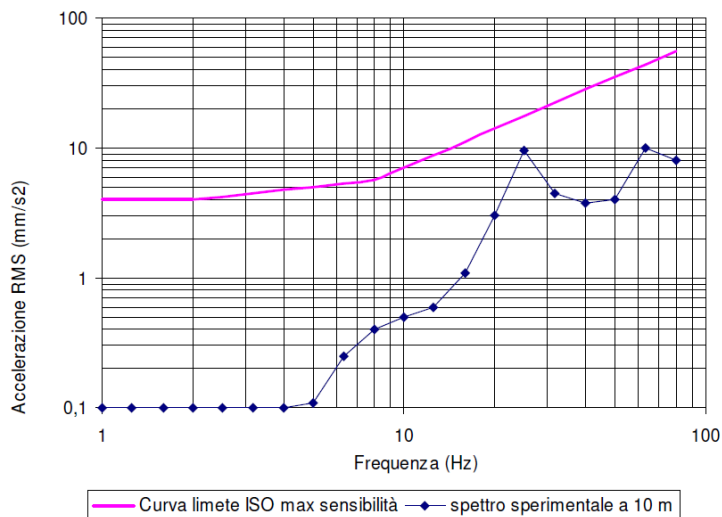


Figura 24 Spettro di emissione della sorgente di un autocarro 10mdall'asse di cantiere

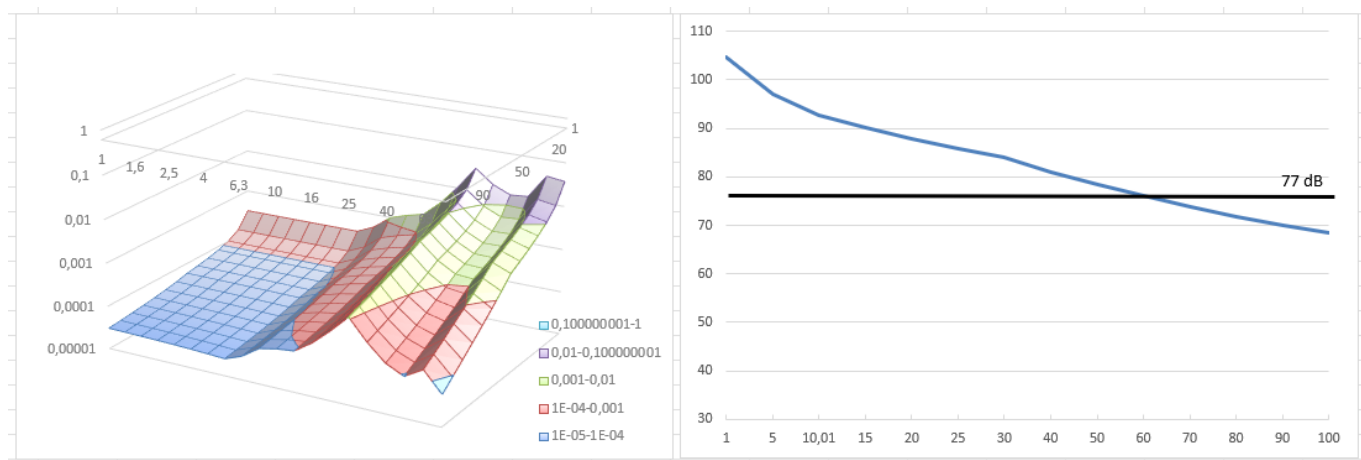


Figura 25 Modifica dello spettro dell'accelerazione ponderata in funzione della distanza e della frequenza e curva di propagazione delle vibrazioni

### 9.8.4. PROPAGAZIONE DELLE VIBRAZIONI DI UN ESCAVATORE CINGOLATO

Vengono di seguito riportati i risultati del modello previsionale descritto per un escavatore cingolato e per i modelli geologici di riferimento di cui al cap.8.

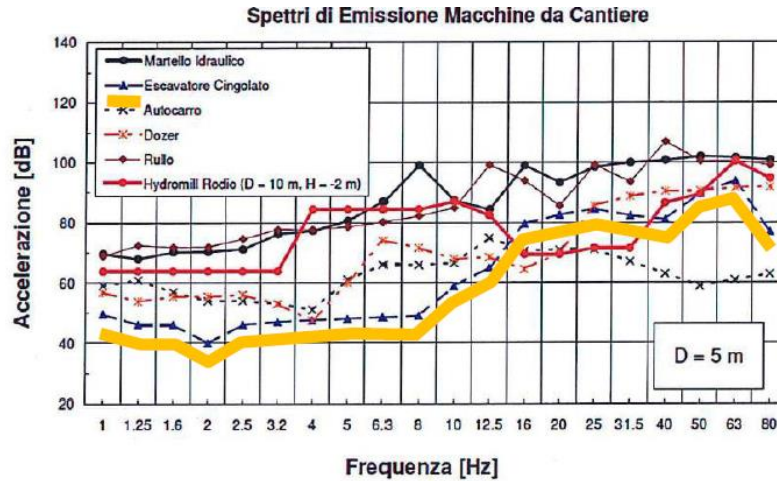


Figura 26 Spettro di emissione della sorgente di un escavatore cingolato 5m dall'asse di cantiere

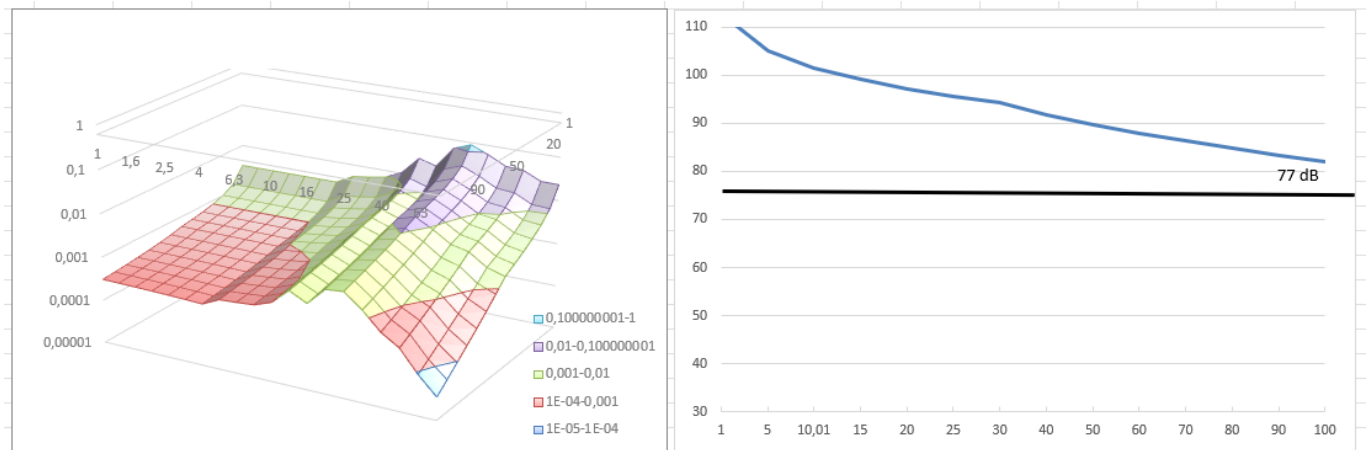


Figura 27 Modifica dello spettro dell'accelerazione ponderata in funzione della distanza e della frequenza e curva di propagazione delle vibrazioni

### 9.8.5. PROPAGAZIONE DELLE VIBRAZIONI DI UN MARTELLO IDRAULICO

Vengono di seguito riportati i risultati del modello previsionale descritto per un martello idraulico e per i modelli geologici di riferimento di cui al cap.8.

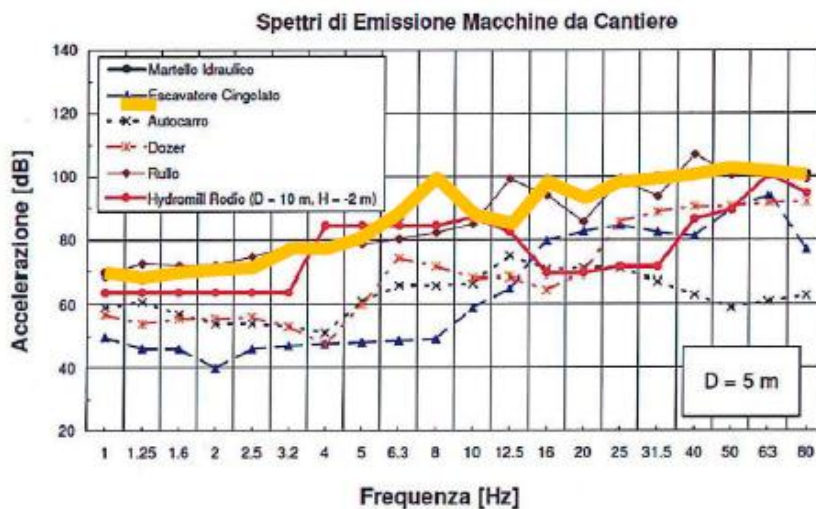


Figura 28 Spettro di emissione della sorgente di un martello idraulico 5mdall'asse di cantiere

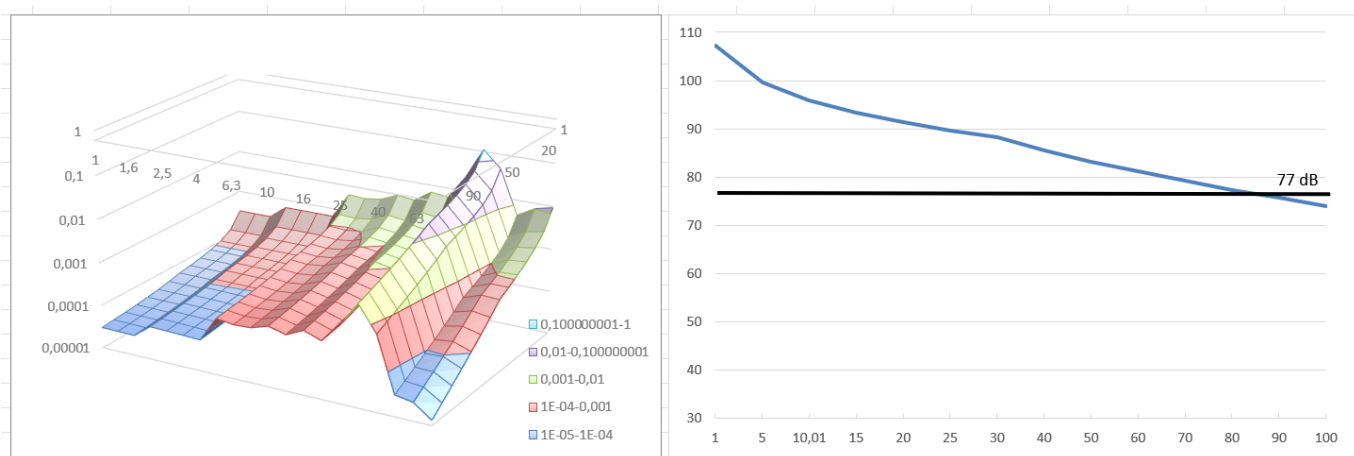


Figura 29 Modifica dello spettro dell'accelerazione ponderata in funzione della distanza e della frequenza e curva di propagazione delle vibrazioni

## 10. MODALITÀ DI GESTIONE DEL DISTURBO DOVUTO ALLE VIBRAZIONI

Le attività di cantiere quali il passaggio di veicoli pesanti, le demolizioni, la battitura di pali, ecc. costituiscono una sorgente di disturbo con caratteristiche molto diverse da caso a caso; nella maggioranza dei casi si tratta di fenomeni transitori di breve durata facilmente isolabili e pertanto nella maggior parte dei casi gestibili. Qualora non fosse tecnicamente possibile o economicamente giustificabile mettere in atto soluzioni lavorative differenti a quelle previste e si dovessero verificare condizioni per cui si abbia evidenza del superamento dei limiti di riferimento, in accordo con quanto indicato al punto 9.5 della norma UNI 9614/2017 che dispone la possibilità di deroghe a tali limiti concedibili in alcuni casi **per attività temporanee o di cantiere**, verranno attuate le attività previste dalle linee guida all'**Appendice C** della stessa norma.

### 10.1. CRITERI DI AZIONE E MISURE DI MITIGAZIONE

Sebbene i limiti di riferimento relativi al disturbo non siano, in certi casi, esplicitabili, in generale il primo criterio con cui affrontare la gestione del disturbo generato da vibrazioni è che:

1. **le vibrazioni dovrebbero essere contenute in modo da evitare danni alle strutture più prossime** (la norma di riferimento per tali valutazioni è la UNI 9916/2014)

Per quanto concerne invece il disturbo alle persone, il primo criterio che dovrebbe essere garantito è:

2. **Il rispetto del periodo di riposo notturno**

ovvero evitare tutte quelle attività che possano portare al risveglio durante il periodo dalle ore 22.00 alle ore 6.00 o, in adiacenza a strutture quali scuole, case di riposo in cui è previsto il riposo pomeridiano per la durata dello stesso.

Un altro criterio da tenere in considerazione è:

3. **la valutazione di modalità esecutive a minore impatto e posizionamento di sorgenti fisse lontano dai ricettori**

ovvero la rivalutazione delle attività lavorative previste con l'intento di abbassare il complessivo livello di vibrazione generato e la dislocazione delle sorgenti a maggiore impatto a distanze maggiori per garantire una maggiore dissipazione della vibrazione immessa.

Risulta evidente che il miglior approccio alla gestione di tale tematica nel suo complesso venga studiato approfonditamente dall'impresa esecutrice dei lavori in base alla propria dotazione di attrezzature e mezzi e alla sua organizzazione. L'analisi preventiva di tutte le situazioni di impatto e delle relative modalità di gestione sarà contenuta in un documento che l'impresa dovrà fornire all'ente o al soggetto controllore prima dell'inizio dei lavori contenente le misure di mitigazione che verranno adottate nell'ambito di una

più ampia strategia di gestione dell'impatto e di tutte quelle azioni risolutive anche in presenza di lamentele e/o esposti.

Tale documento, individuato con il nome di **PIANO di GESTIONE dell'IMPATTO VIBRAZIONALE di CANTIERE (PGIVC)** ha l'obiettivo, per quanto ragionevolmente attuabile in relazione agli obiettivi di progetto, di limitare i livelli di vibrazione così che le residenze interessate o altri ricettori sensibili siano protetti da eccessivi livelli di vibrazione associati alle attività di cantiere. Di seguito vengono riportati i contenuti minimi richiesti per le lavorazioni in progetto:

- 1. censimento dei ricettori:** deve essere fornita la lista completa e aggiornata dei ricettori ritenuti sensibili e di questi devono essere fornite le seguenti informazioni: destinazione d'uso, attività in esso svolte, caratteristiche costruttive e condizioni di conservazione. I ricettori verranno classificati in base a queste caratteristiche e alle fasce orarie di rispetto del riposo.
- 2. tipologia di lavorazioni:** deve essere stilata una precisa lista delle lavorazioni ed in particolar modo di quelle fasi che prevedono sovrapposizione di sorgenti potenzialmente impattanti. Di essi si dovrà conoscere il potenziale di impatto ottenuto da misure dirette o da dati di letteratura. Questa fase è di fondamentale importanza e propedeutica alla valutazione dell'entità del disturbo e della sua durata.
- 3. attività informativa preventiva:** il piano di gestione dell'impatto vibrazionale di cantiere deve contenere un accurato programma di informazione preventiva rivolto alla popolazione ritenuta sensibile. L'informazione, esplicita mediante i mezzi di divulgazione locali (volantini, riunioni della popolazione, avvisi e/o ordinanze comunali, porta a porta) devono contenere tutti gli elementi necessari alla corretta informazione degli eventi previsti: valori limite, orario delle lavorazioni, durata, tipologia. Le comunicazioni dovranno altresì informare chiaramente che le vibrazioni non saranno tali da recare danni permanenti alle strutture.
- 4. monitoraggi:** prima dell'inizio delle attività di cantiere previste, dovrà essere effettuato un piano di monitoraggio con misure dirette su ciascuna di quelle più impattanti con particolare riferimento a quelle la cui interferenza può potenzialmente generare superamenti delle soglie limite. Le modalità esecutive delle misure, il numero e la successiva elaborazione dei dati deve essere eseguita con le modalità descritte al punto 6 della UNI 9614/2017. La strumentazione da utilizzare avrà le caratteristiche previste al punto 7 della stessa norma e sarà opportunamente calibrata e tarata, dandone evidenza allegando al piano di monitoraggio la documentazione rilasciata dall'ente certificatore. Qualora ci si trovasse in presenza di lamentele e/o esposti, al fine di verificare con la massima cura l'entità del disturbo, il tecnico misuratore utilizzerà il questionario predisposto all'Appendice B della UNI 9614/2017, finalizzato ad una raccolta dati efficace e completa.
- 5. mitigazioni:** il PGIVC dovrà contenere tutte le misure di mitigazione individuate per limitare il disturbo generato dalla vibrazione. Sarà indicata al suo interno un'analisi ex-ante ed ex-post da cui si possa evincere l'efficacia delle misure di mitigazione individuate.

6. **controlli:** il PGIVC deve prevedere un piano di controllo e audit interno finalizzato alla corretta applicazione delle misure di mitigazione e in generale di tutte le azioni strutturali e non strutturali in esso evidenziate. Verrà predisposto un accurato calendario minimo dei controlli da attuare per tutta la durata delle lavorazioni.

Per quanto non esplicitamente esposto nella presente, si rimanda all'Appendice C della norma UNI 9614/2017.

## 11. CONCLUSIONI

Lo studio ha permesso di analizzare il potenziale impatto dovuto a vibrazioni prodotte dalle macchine operatrici, in accordo con quanto previsto alle norme 9416/2017 e 9916/2014, che verranno impiegate per la realizzazione del Parco Eolico e successivamente durante il suo esercizio.

A tal fine e con l'intento di valutare efficacemente le attività previste sono stati individuati tre scenari di riferimento per la fase di cantiere. Quindi sono state valutate le distanze oltre le quali il livello di vibrazione prodotto complessivamente dalle attività risulta minore dei limiti prefissati dalla norma ovvero con accelerazione ponderata minore di 7,2 mm/sec<sup>2</sup>.

L'analisi porta ad un range di distanze di sicurezza, nella peggiore delle ipotesi (considerando la contemporaneità dei mezzi in azione per le diverse attività di cantiere), compreso tra i 156m (posa dei cavidotti) e i 228m (fase di realizzazione delle fondazioni delle torri a supporto degli aerogeneratori e delle piazzole di servizio).

I risultati dello studio mostrano che la componente vibrazioni non comporta in generale incompatibilità di alcuna natura tra le attività previste e l'assetto ambientale esistente sia nei confronti della salute umana e quindi nella percezione del disturbo, che relativamente ad eventuali ripercussioni sulle strutture.

All'interno di queste distanze in generale ricadono recettori sensibili quali abitazioni e diversi recettori con attività lavorative diurne.

Nello specifico in fase esecutiva dovrà essere valutato l'eventuale impatto sulle strutture e adeguatamente pianificato il cronoprogramma lavori prevedendo ancorché il momentaneo allontanamento dei proprietari negli orari di lavoro.

Eventuali superamenti dei limiti, ammessi dalla normativa per attività temporanee quali i cantieri, verranno gestiti secondo quanto riportato nel Piano di Gestione dell'Impatto Vibrazionale di Cantiere da redigere prima dell'inizio dei lavori.

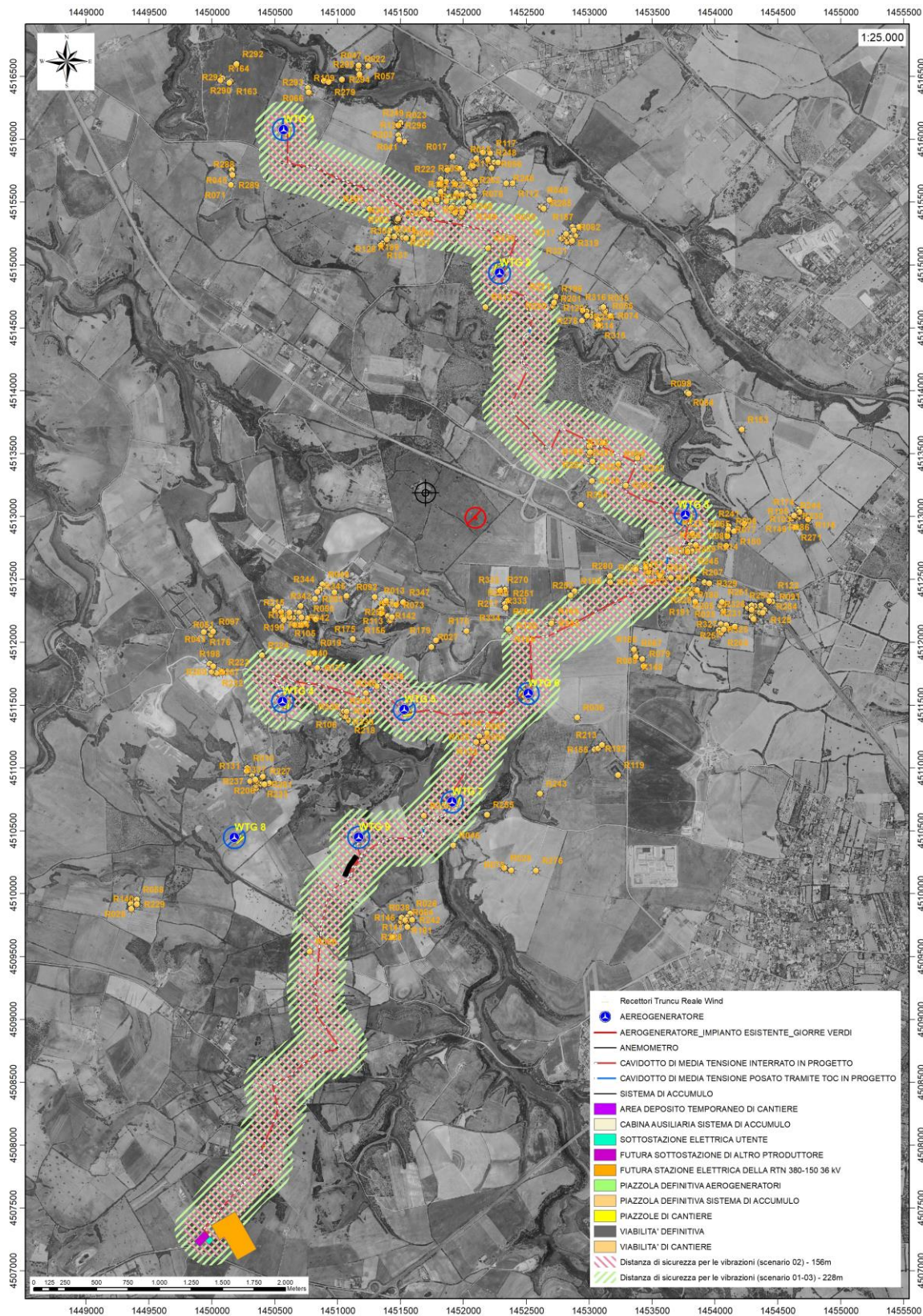


Figura 30 Distanze di sicurezza per le vibrazioni nei vari scenari

